

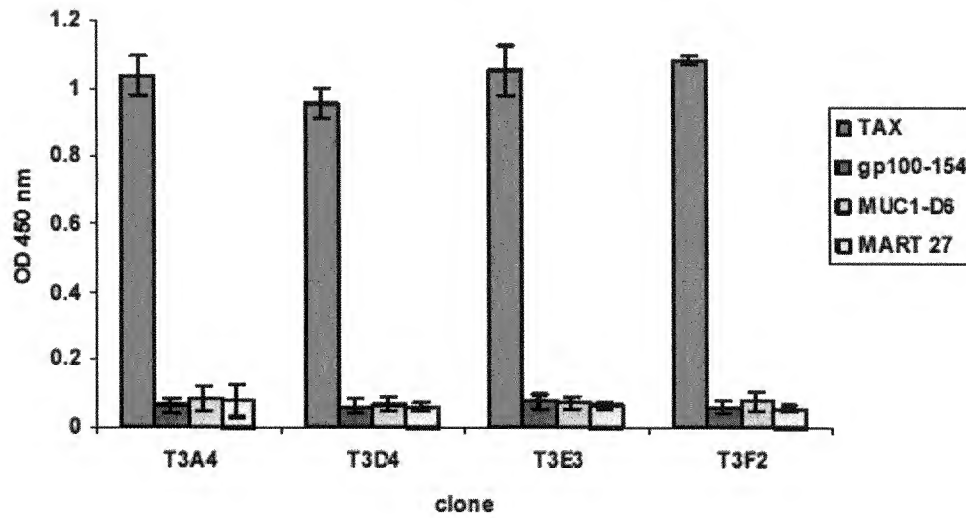
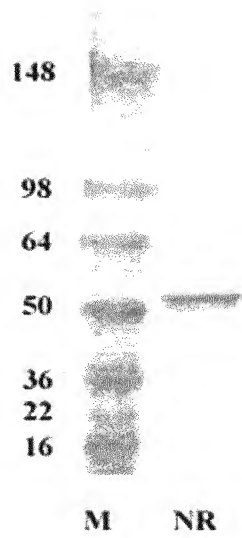
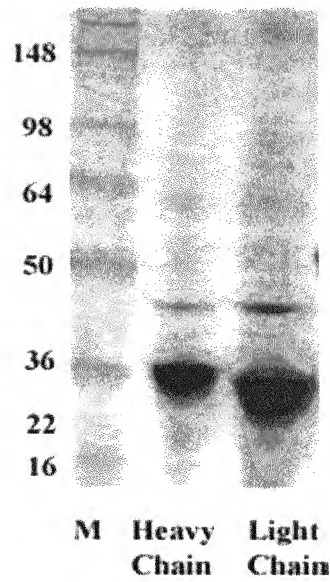
Fig. 1**Fig. 2a****Fig. 2b****Fig. 2c**

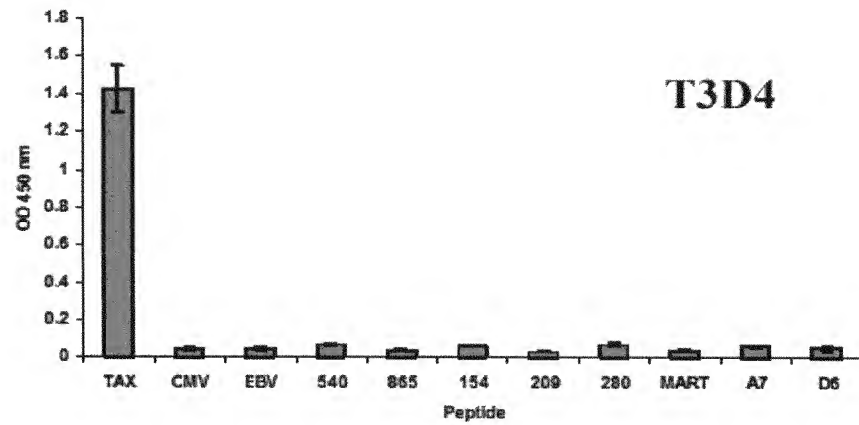
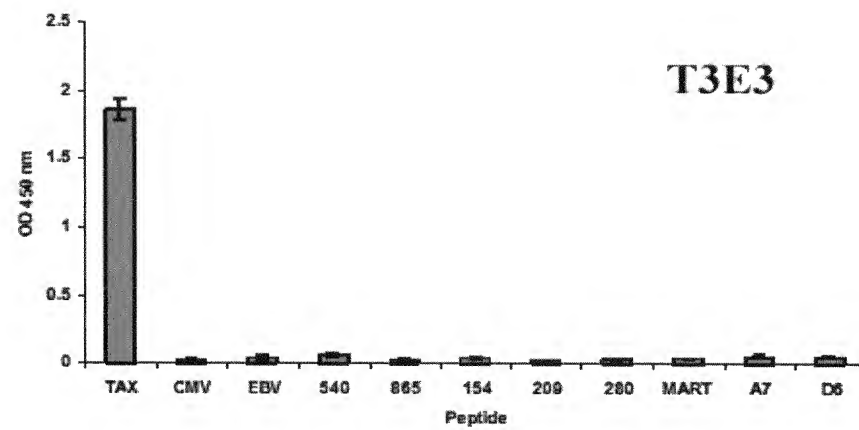
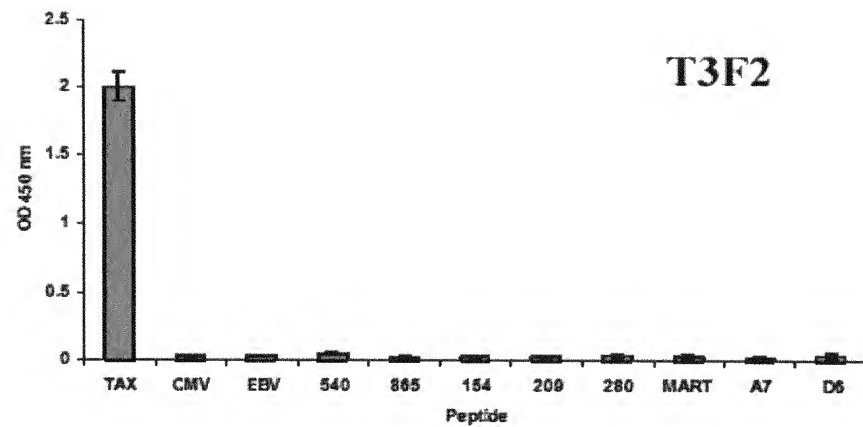
Fig. 3a**Fig. 3b****Fig. 3c**

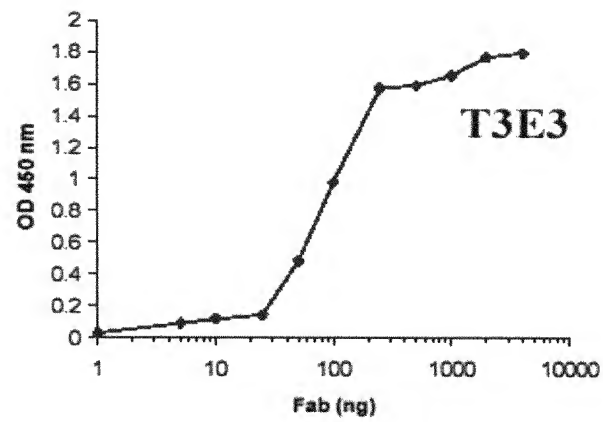
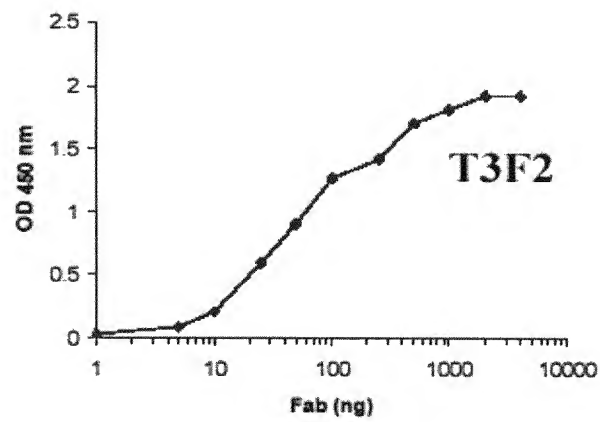
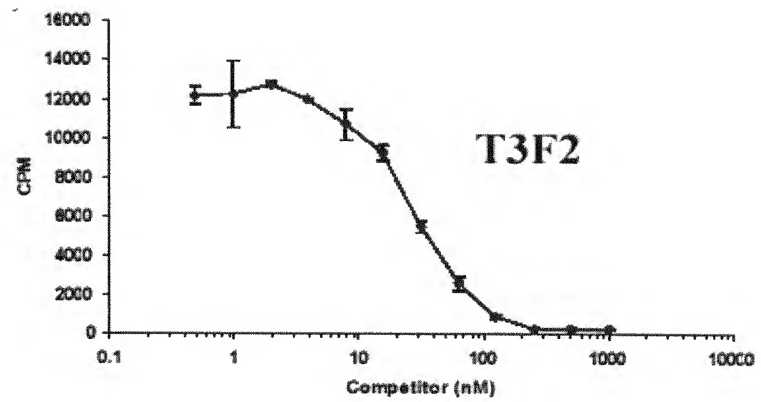
Fig. 4a**Fig. 4b****Fig. 4c**

Fig. 5a

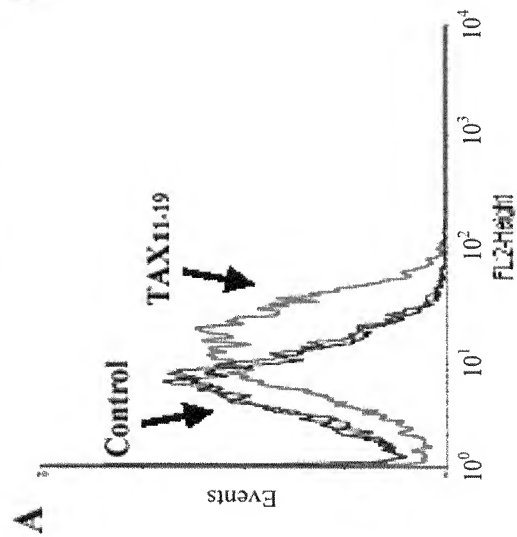


Fig. 5c

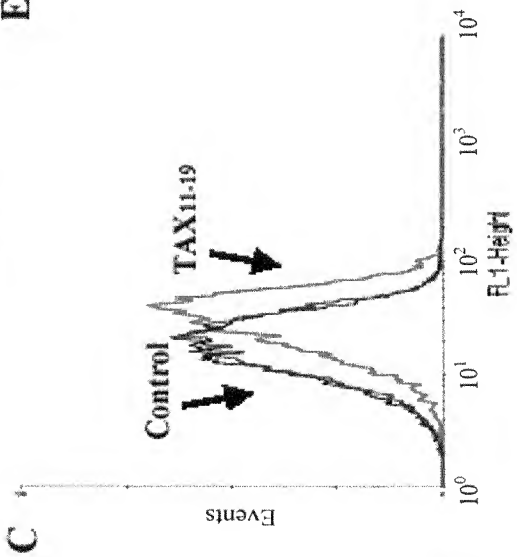


Fig. 5e

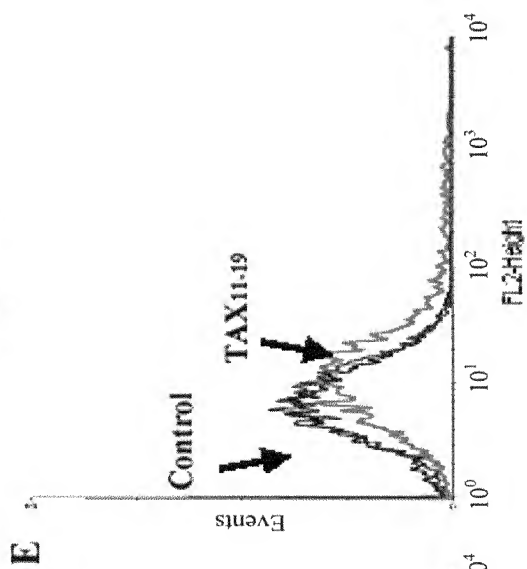


Fig. 5b

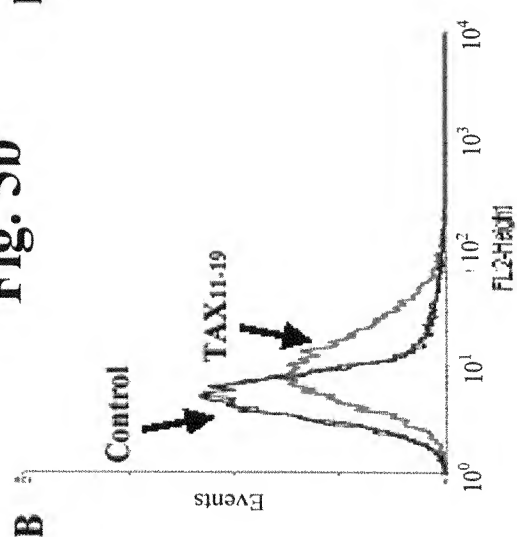


Fig. 5d

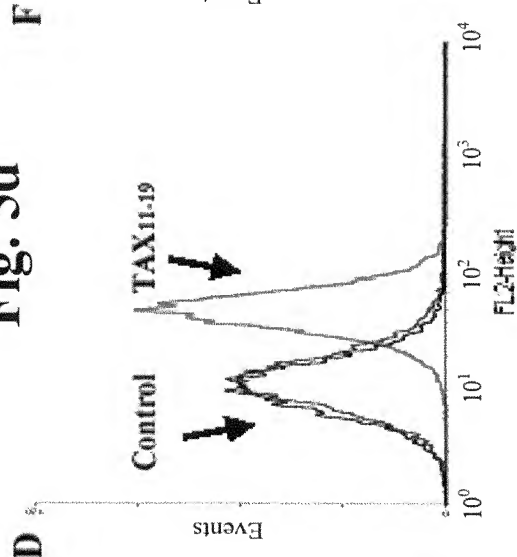


Fig. 5f

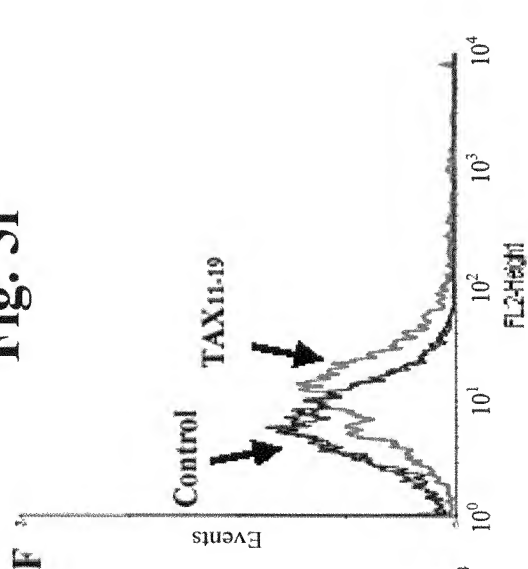


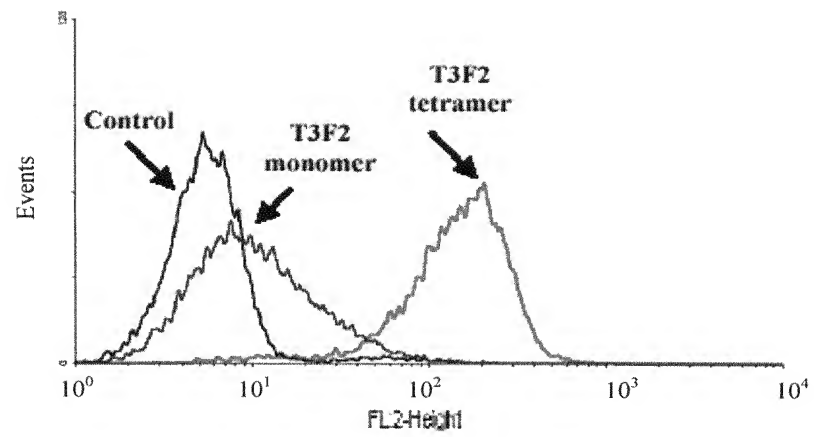
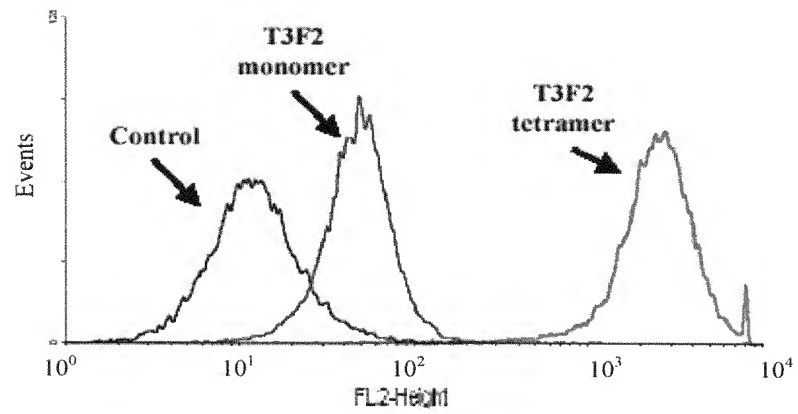
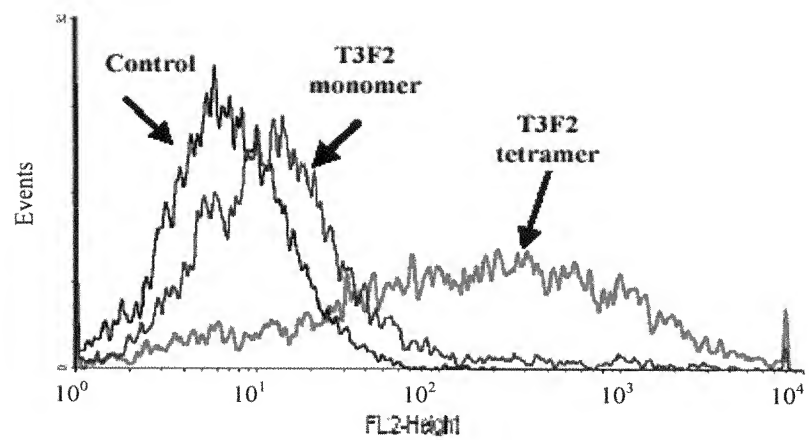
Fig. 6a**Fig. 6b****Fig. 6c**

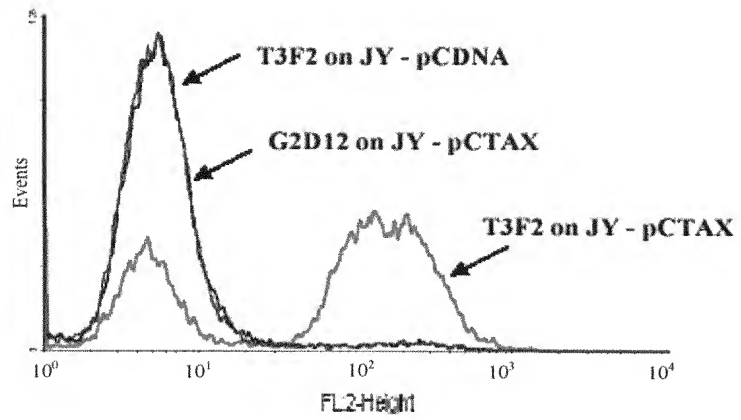
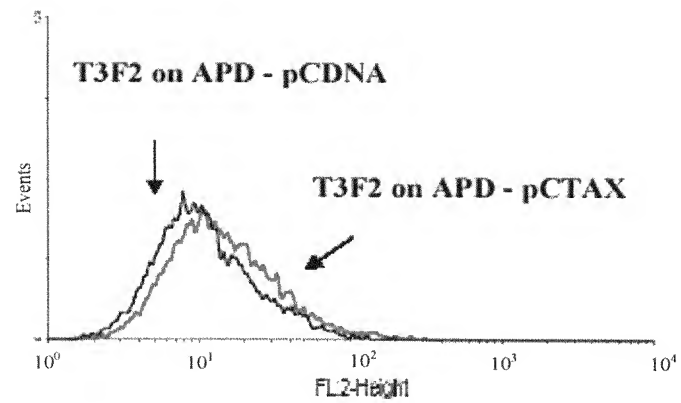
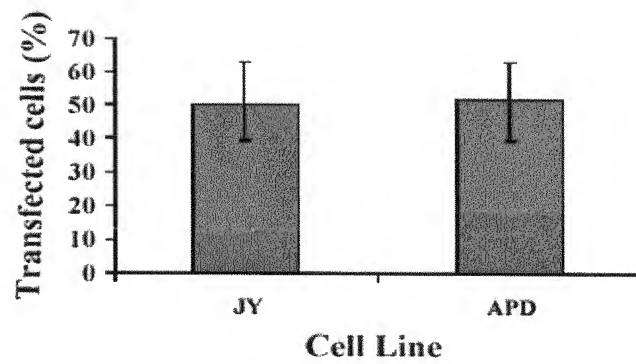
Fig. 7a**Fig. 7b****Fig. 7c**

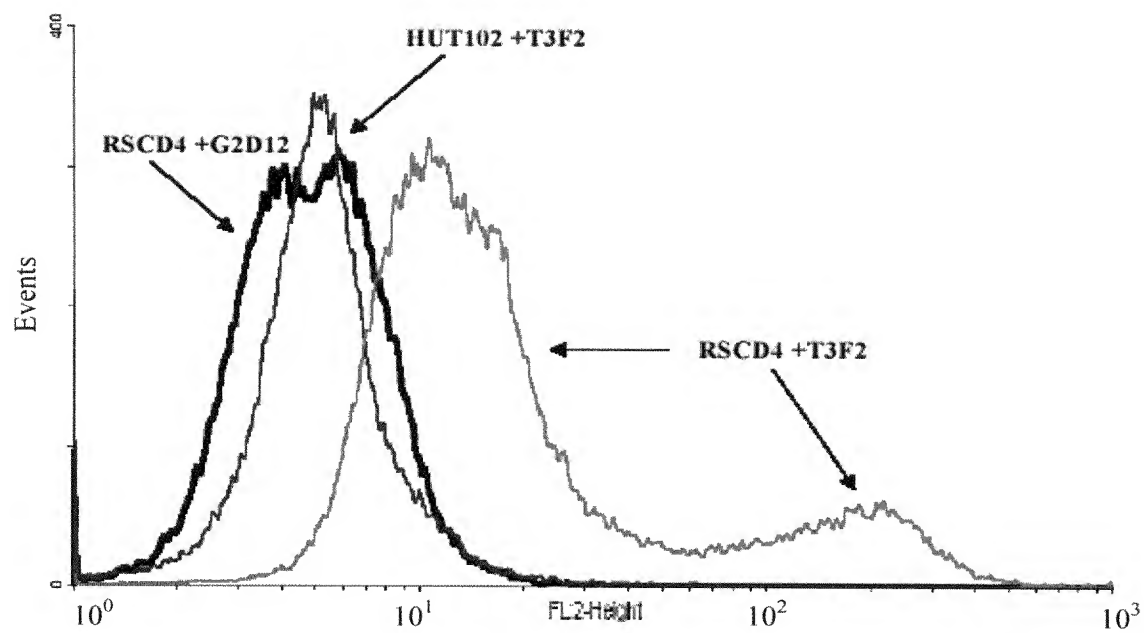
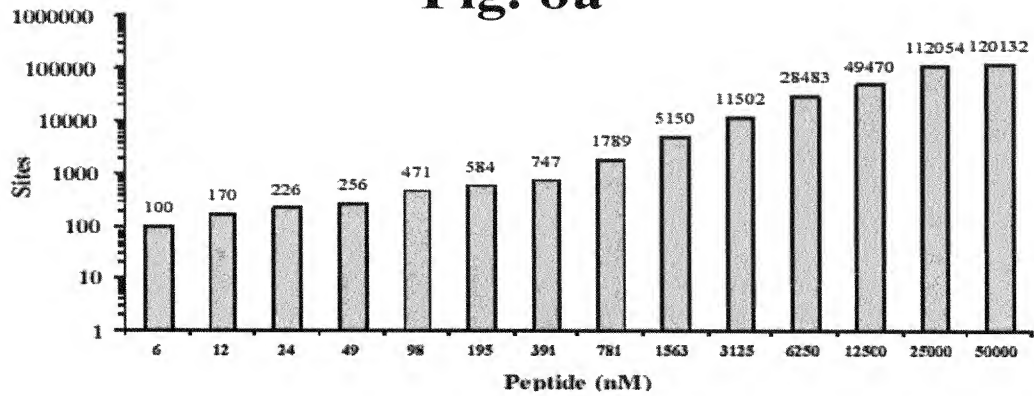
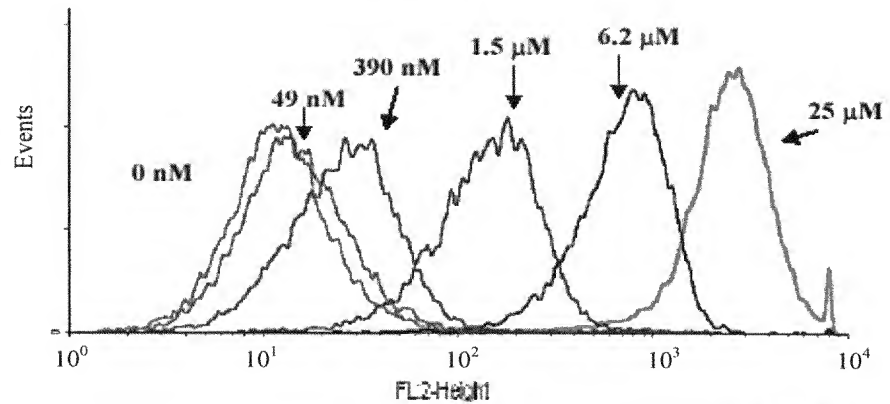
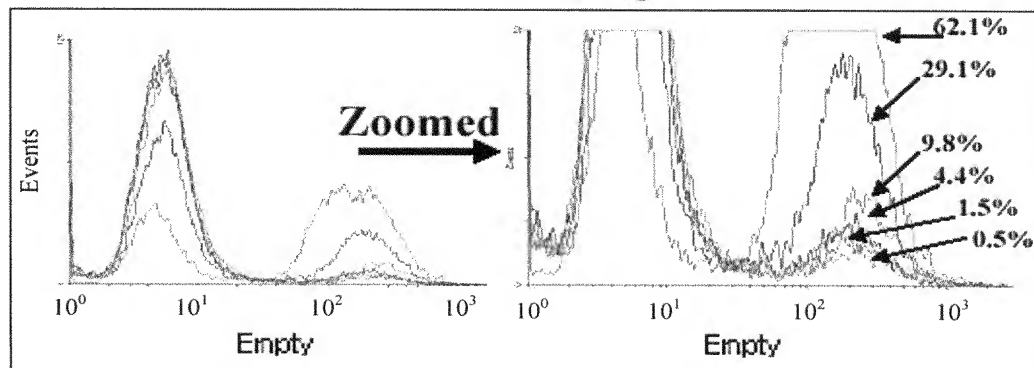
Fig. 7d

Fig. 8a**Fig. 8b****Fig. 8c****Fig. 8d**

Transfected cells within Heterogeneous population (%)	Positive cells detected within Heterogeneous population (%)	Detection sensitivity (Max=61.2% transfected)
100	61.2	100
33	17.8	29.1
10	6.0	9.8
5	2.7	4.4
2.5	0.9	1.5
1	0.3	0.5

Fig. 9a

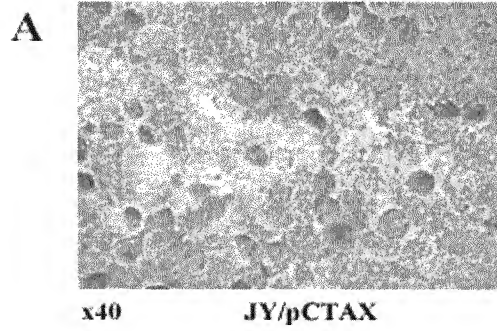


Fig. 9b

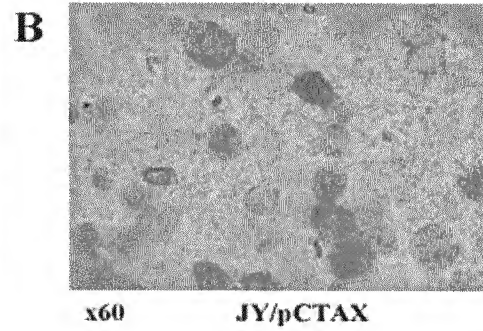


Fig. 9c

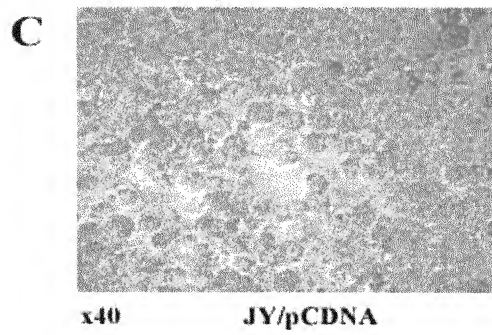


Fig. 9d

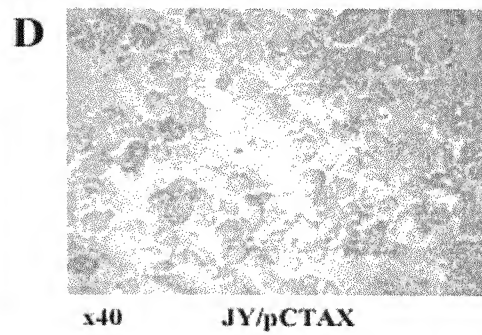


Fig. 9e

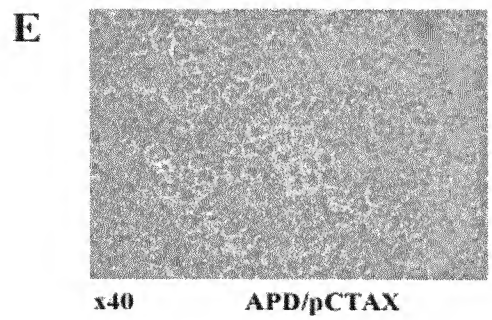


Fig. 9f

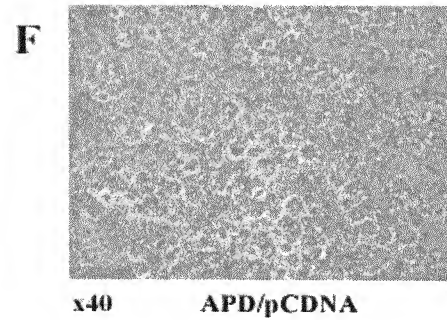
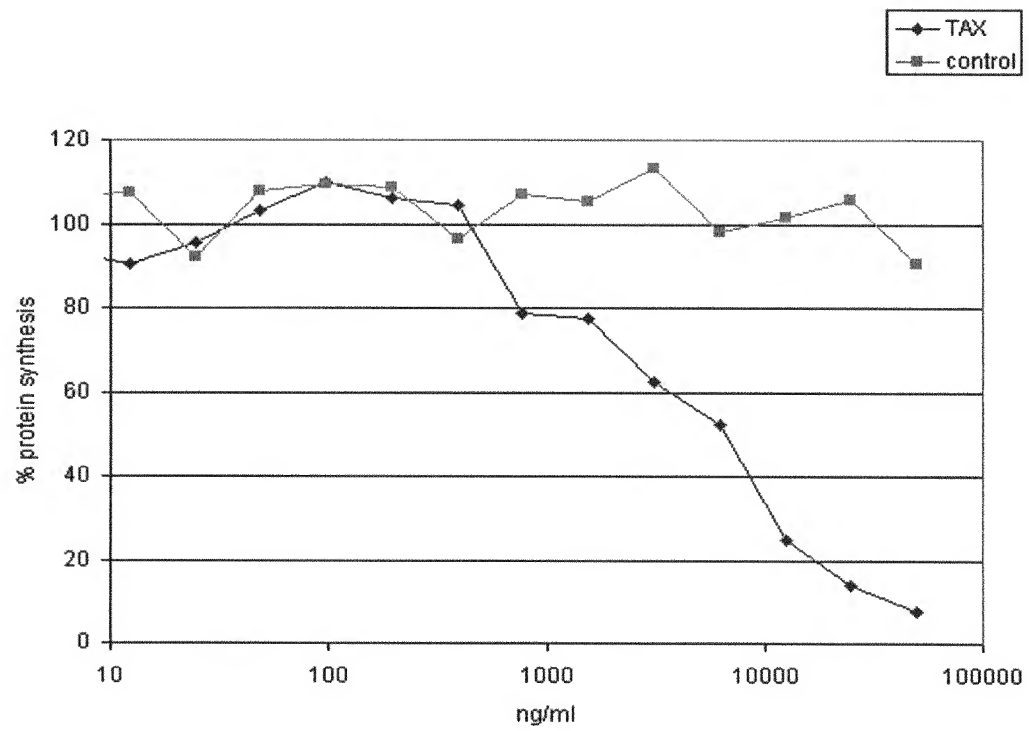


Fig. 10

1/26

10

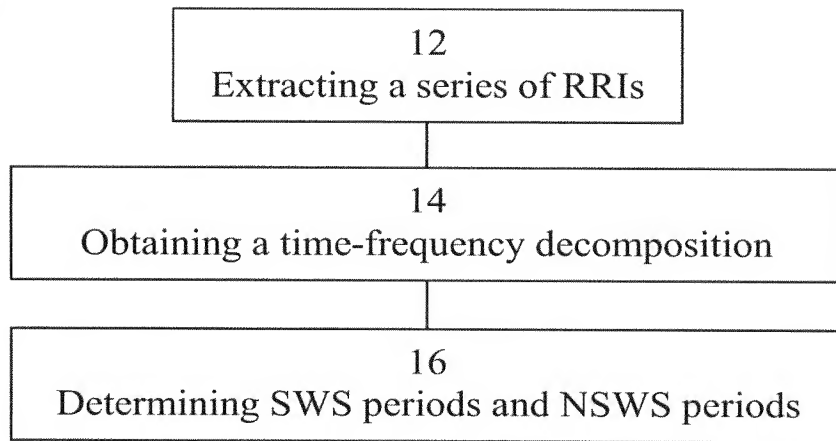


Fig. 1

20

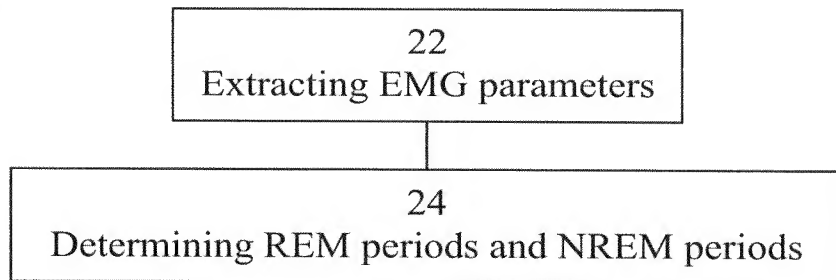


Fig. 2

30

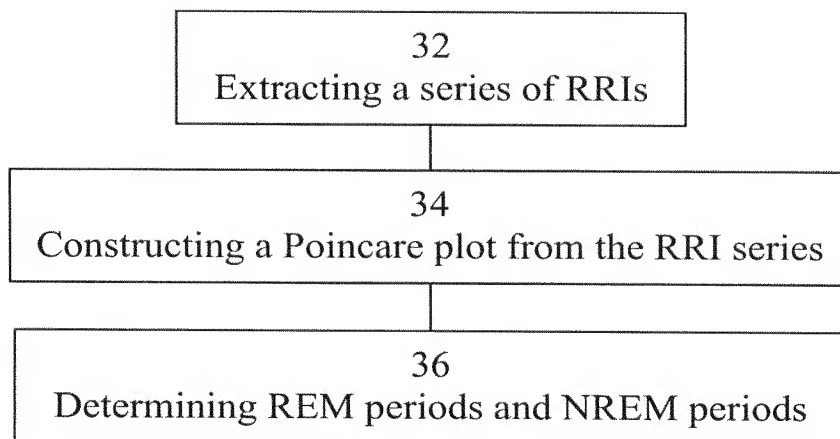


Fig. 3

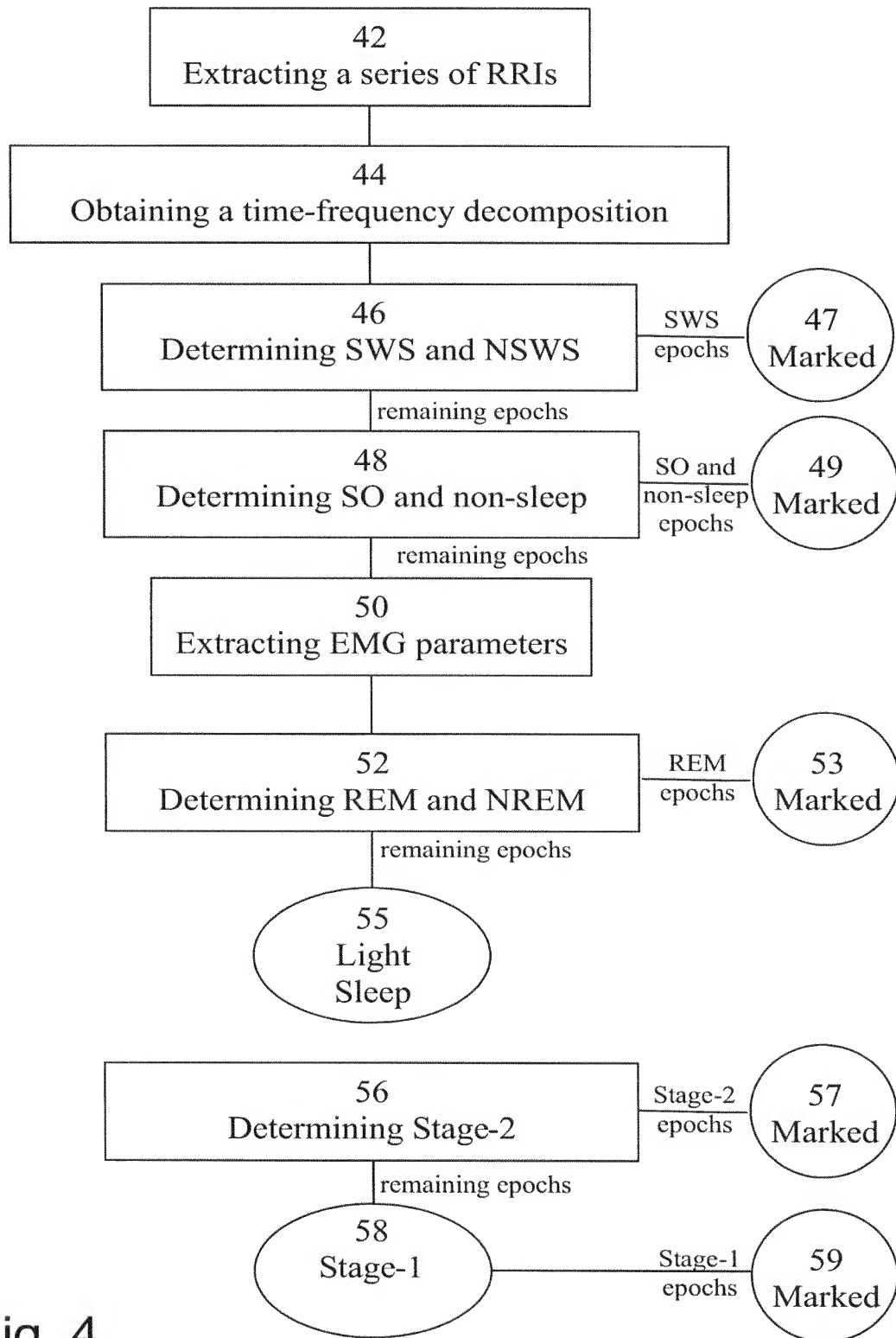
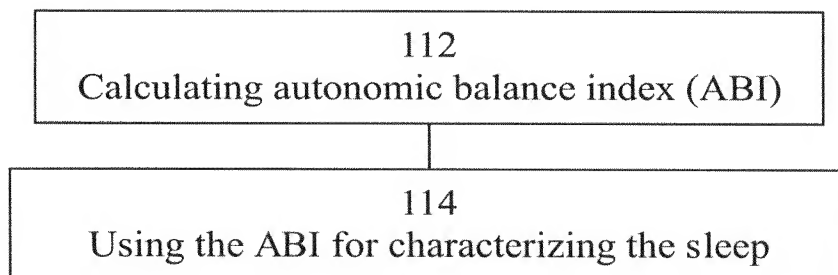
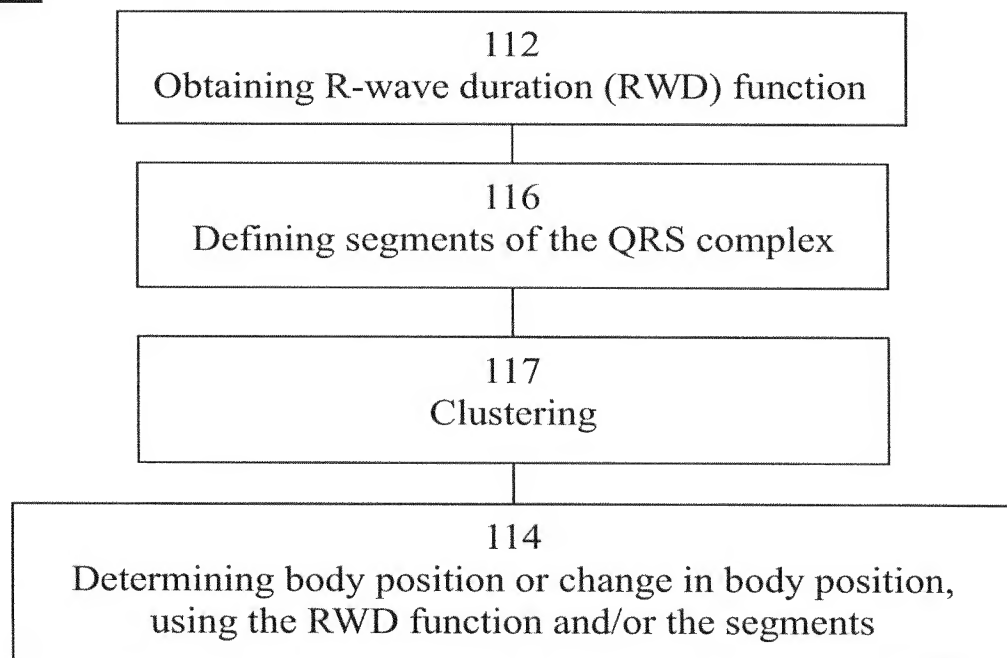


Fig. 4

110**Fig. 5****120****Fig. 6**

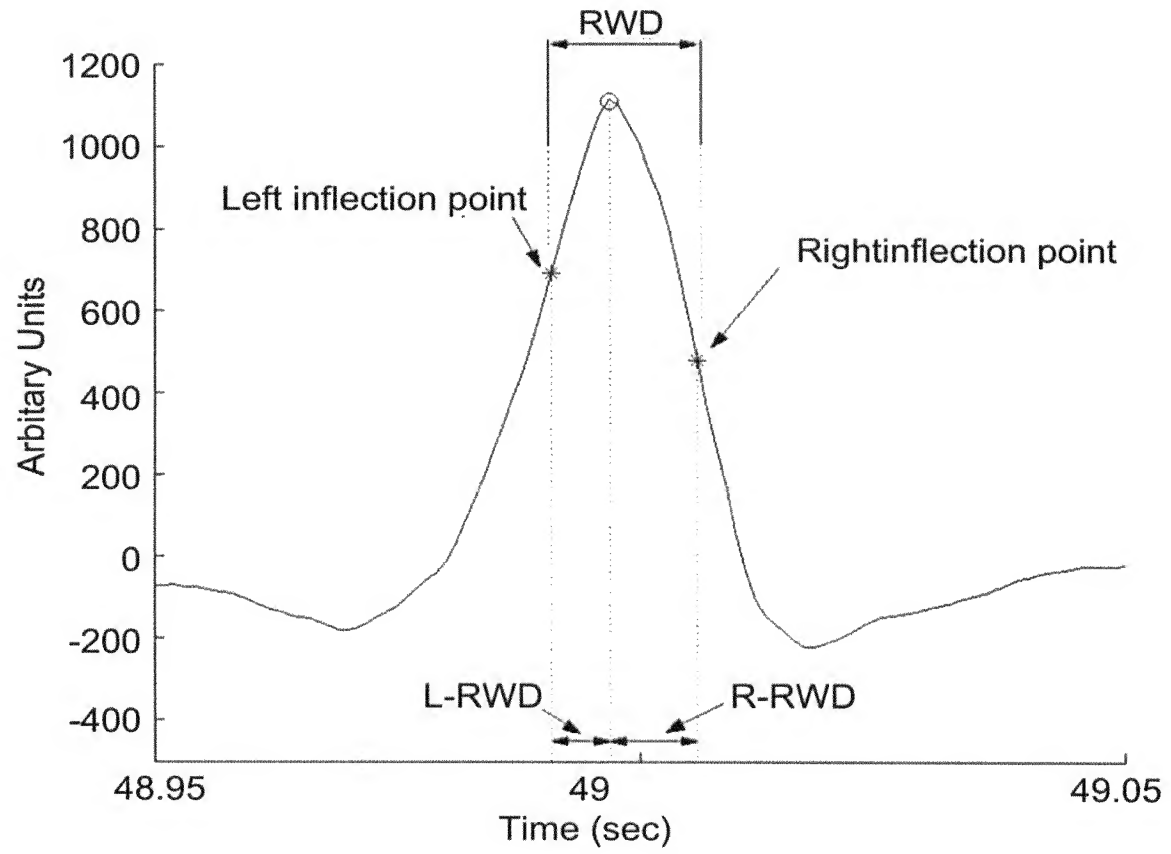


Fig. 7

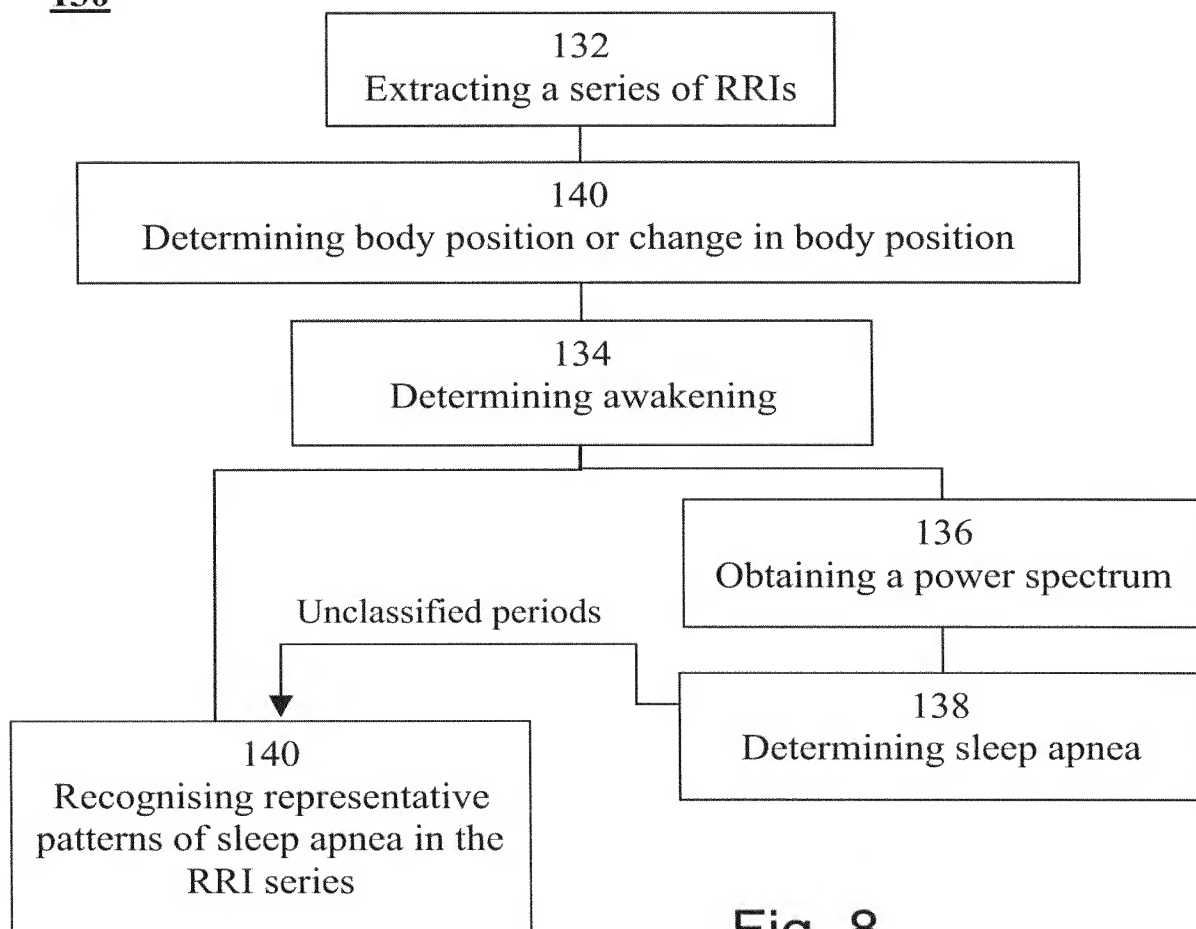
130

Fig. 8

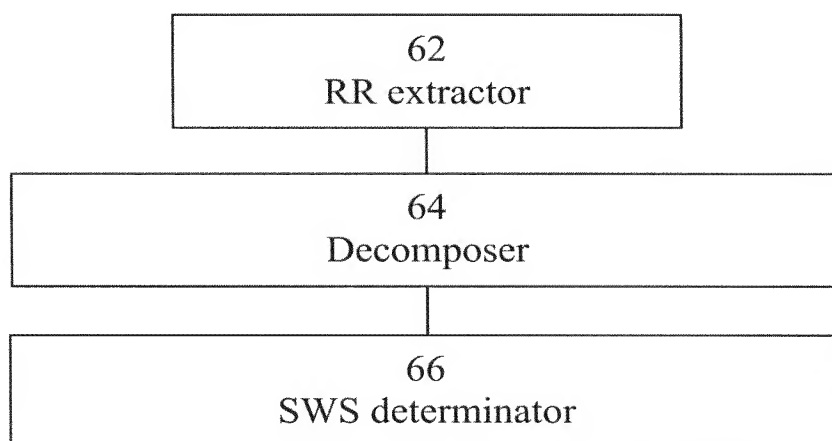


Fig. 9

130

5/26

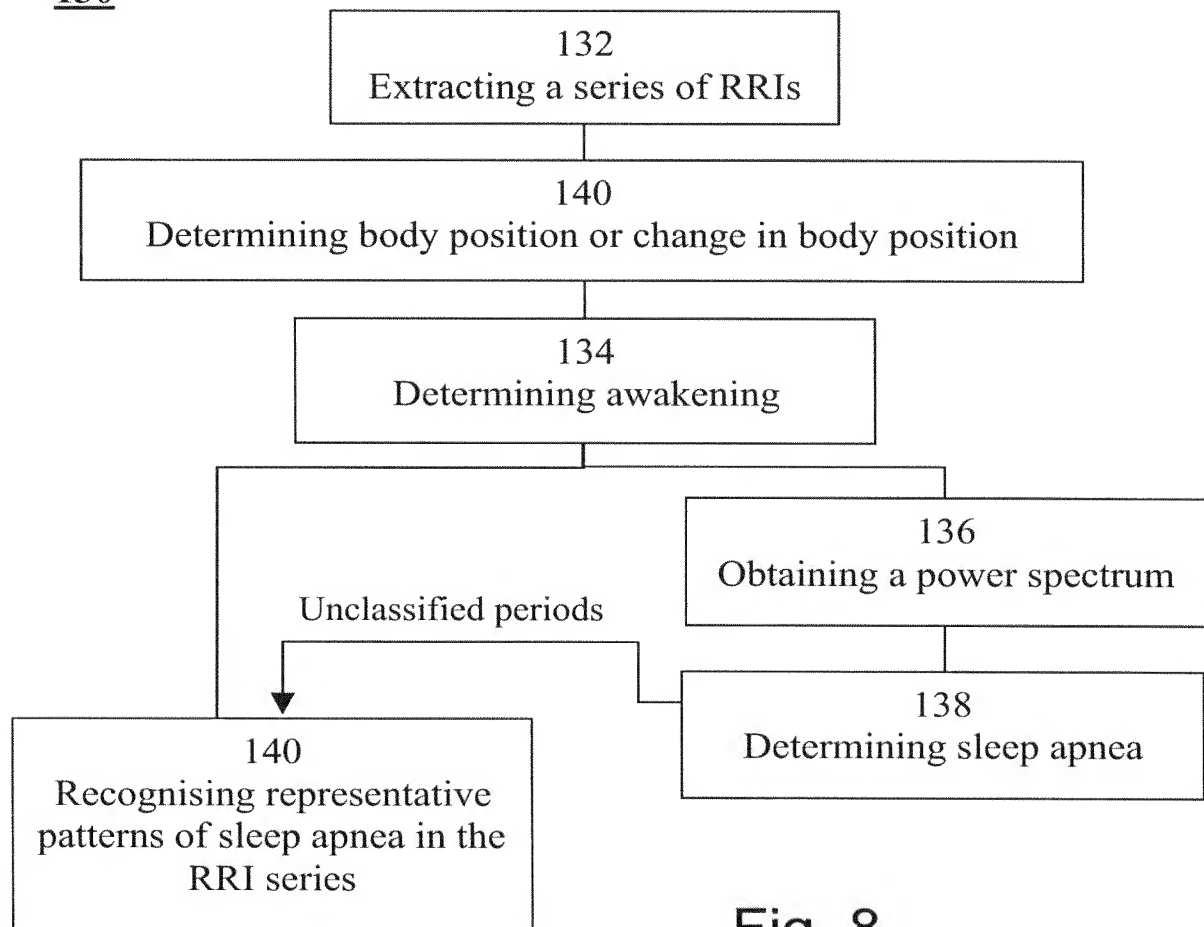


Fig. 8

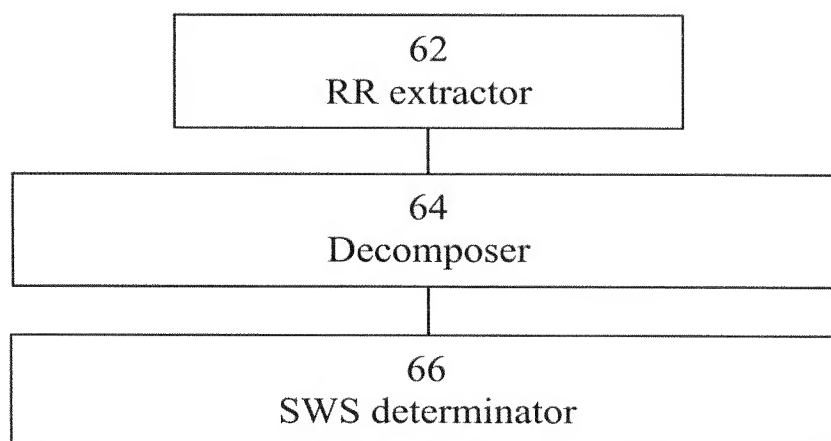


Fig. 9

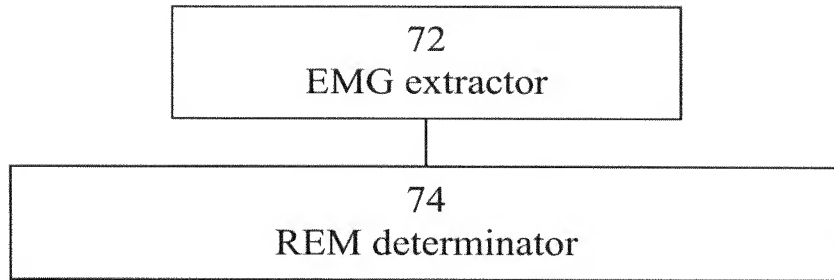


Fig. 10

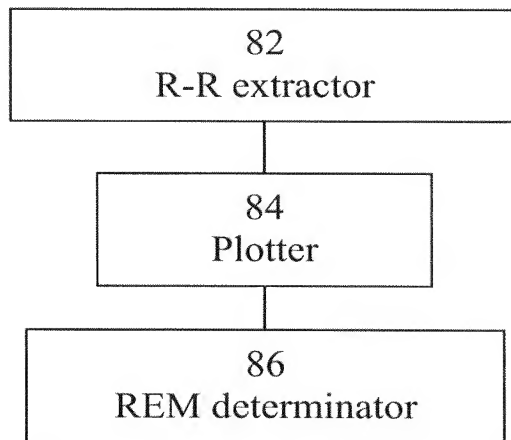


Fig. 11

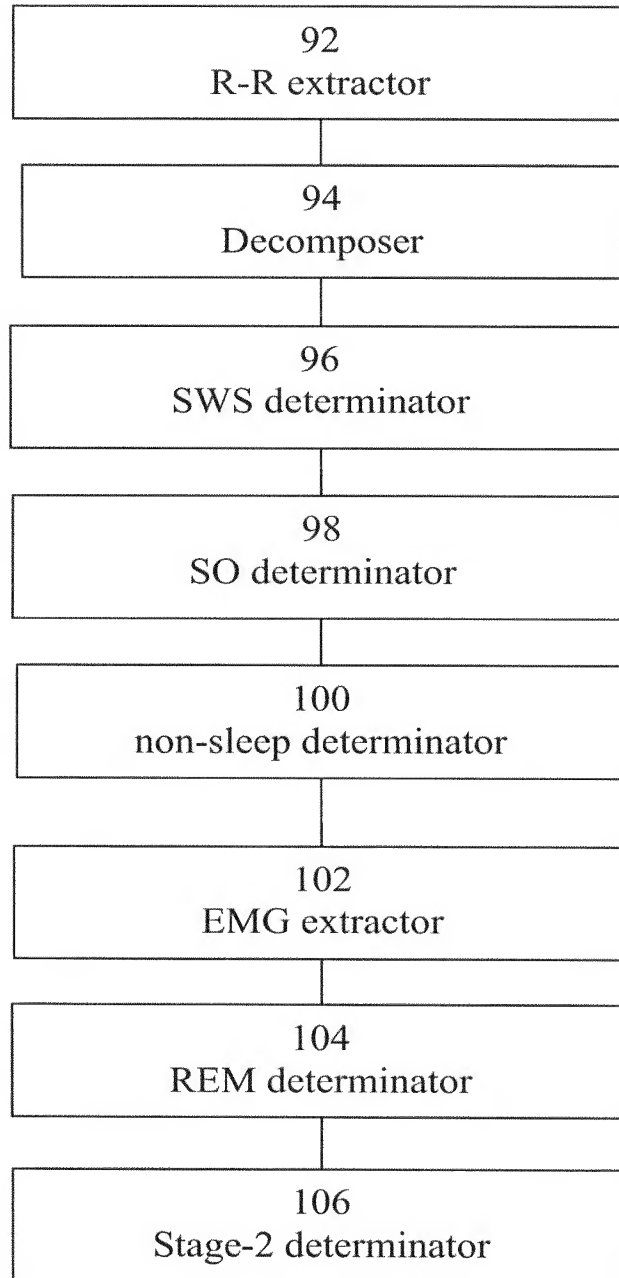


Fig. 12

8/26

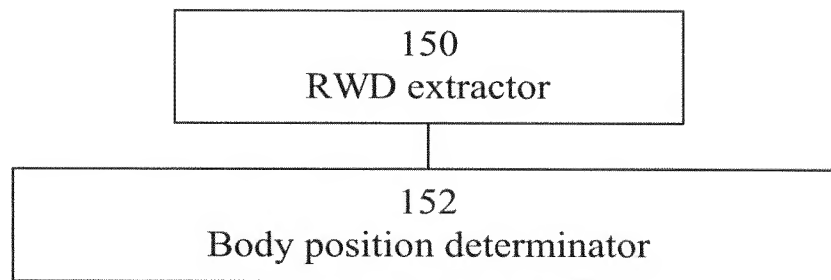


Fig. 13

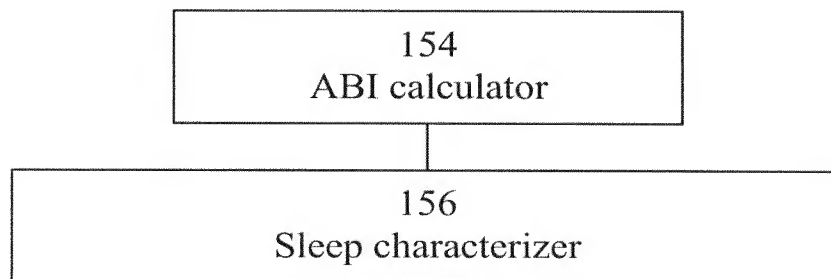


Fig. 14

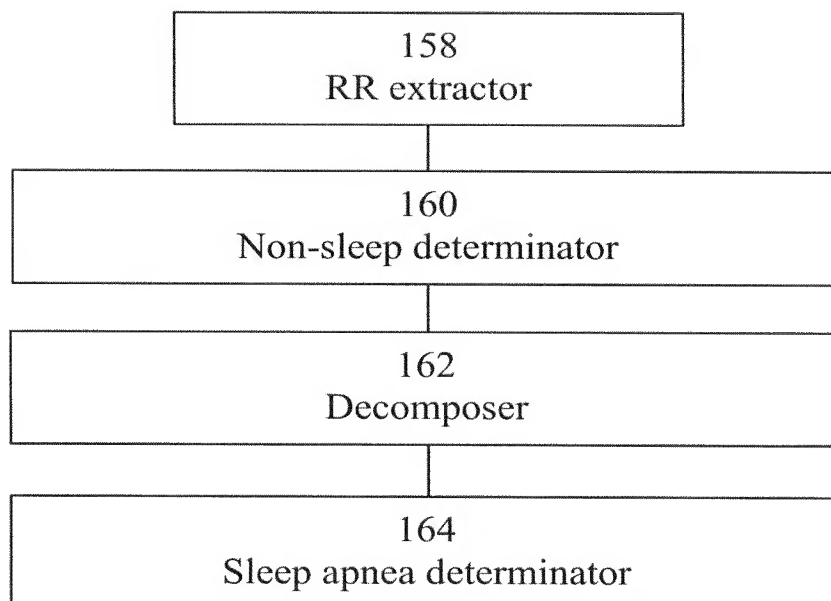


Fig. 15

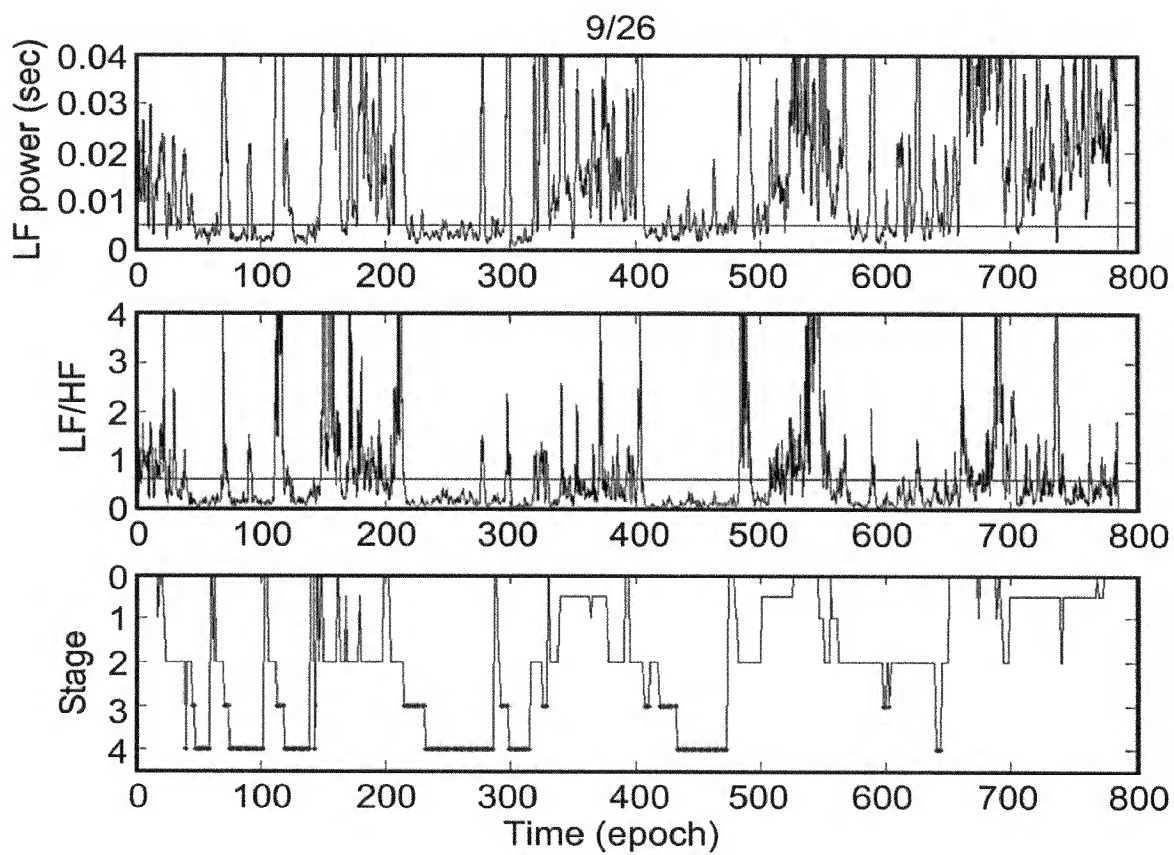


Fig. 16

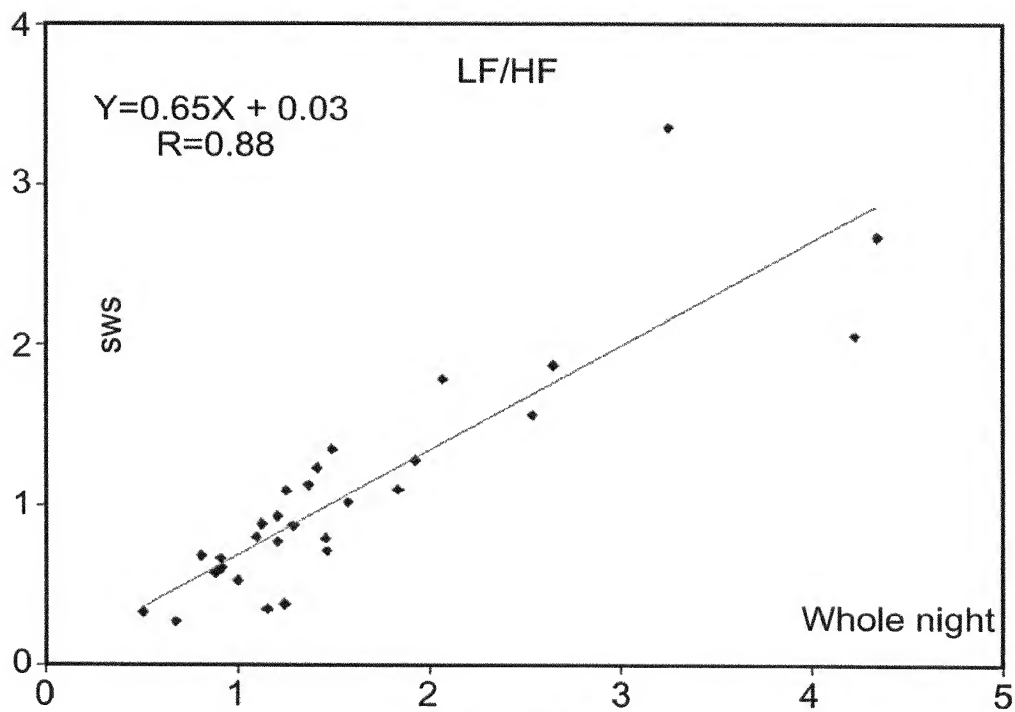


Fig. 17

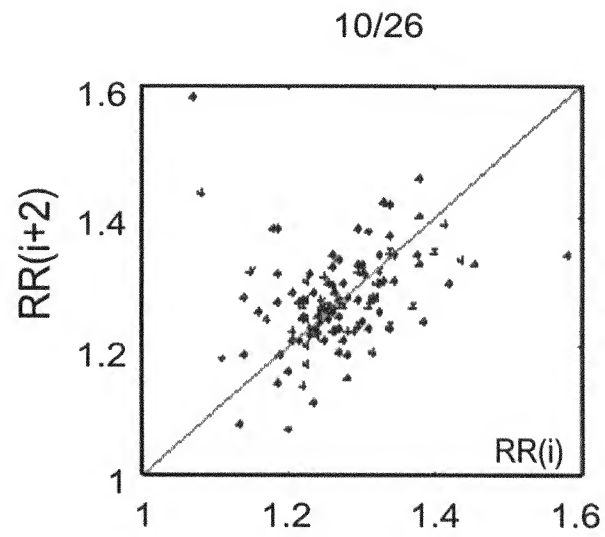


Fig. 18a

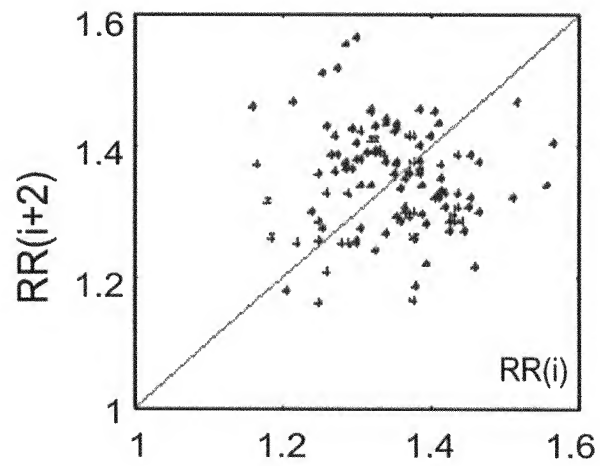


Fig. 18b

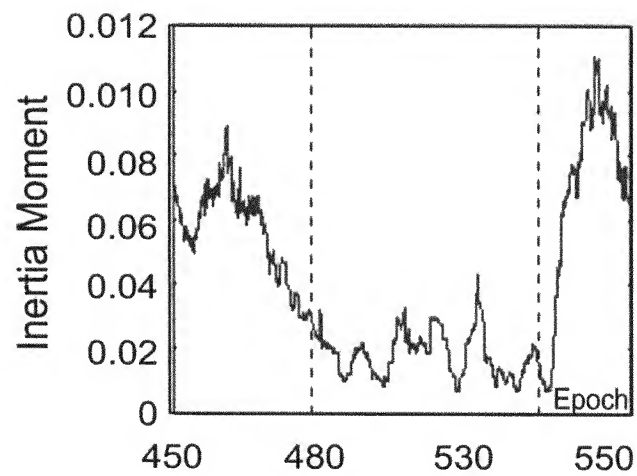
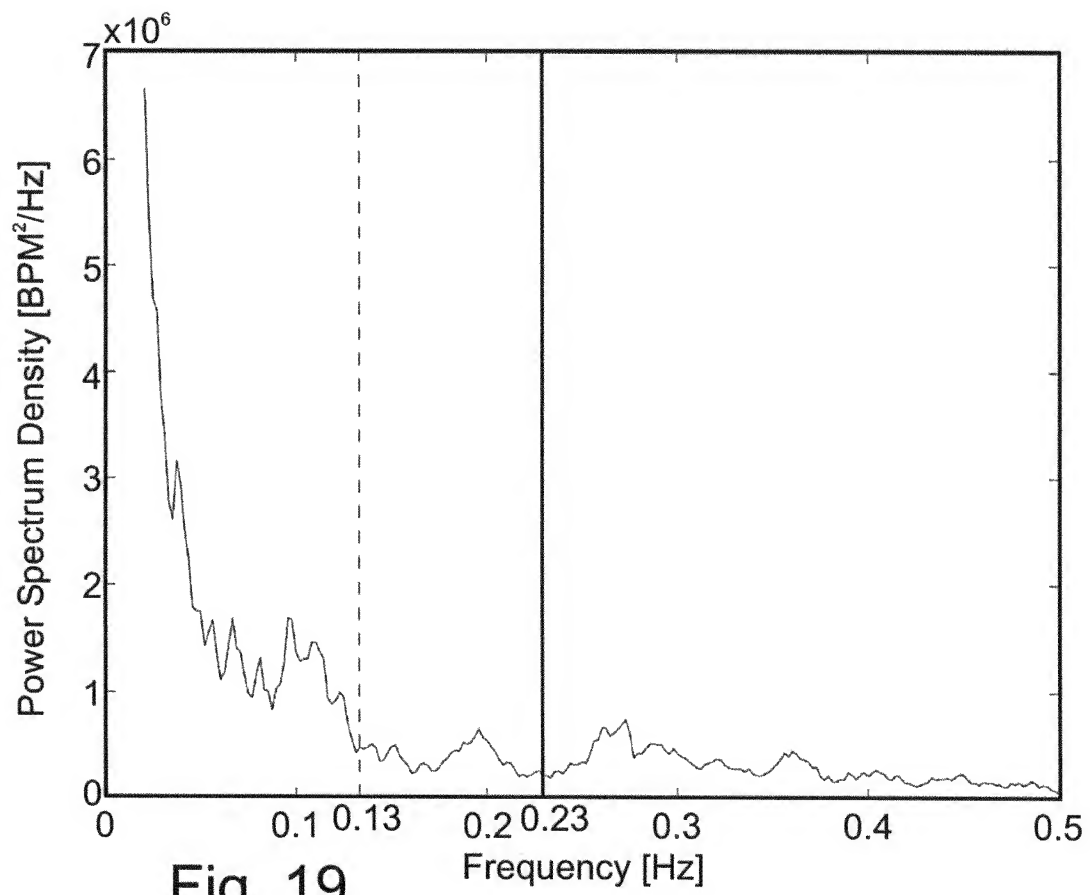


Fig. 18c



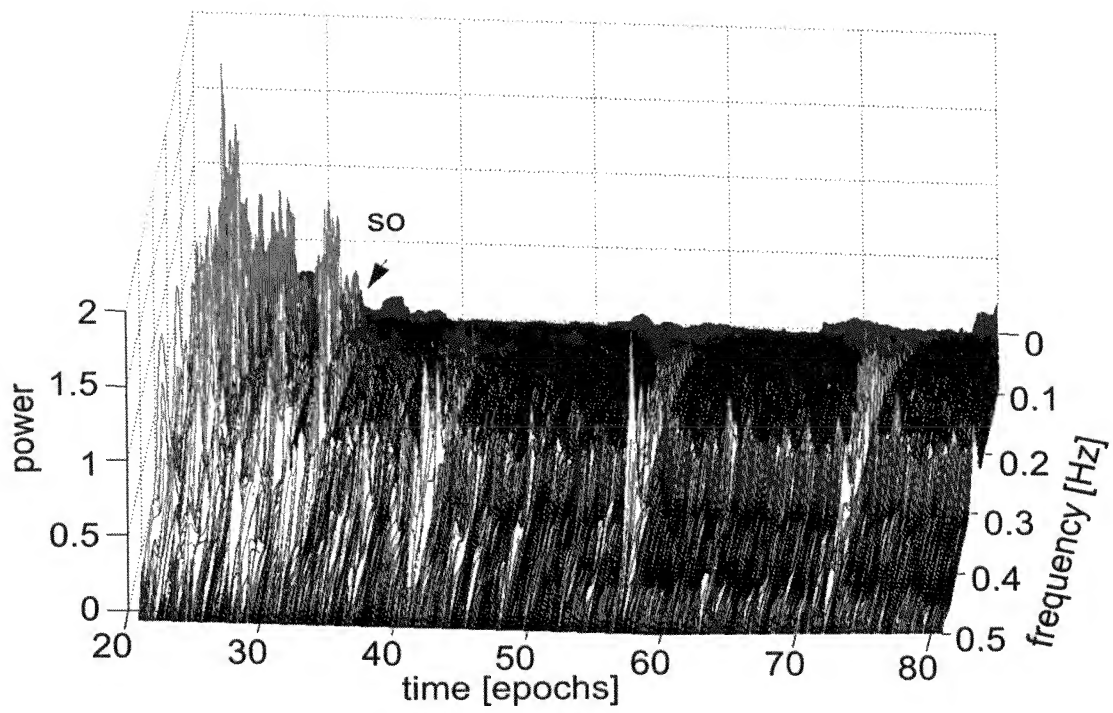


Fig. 20a

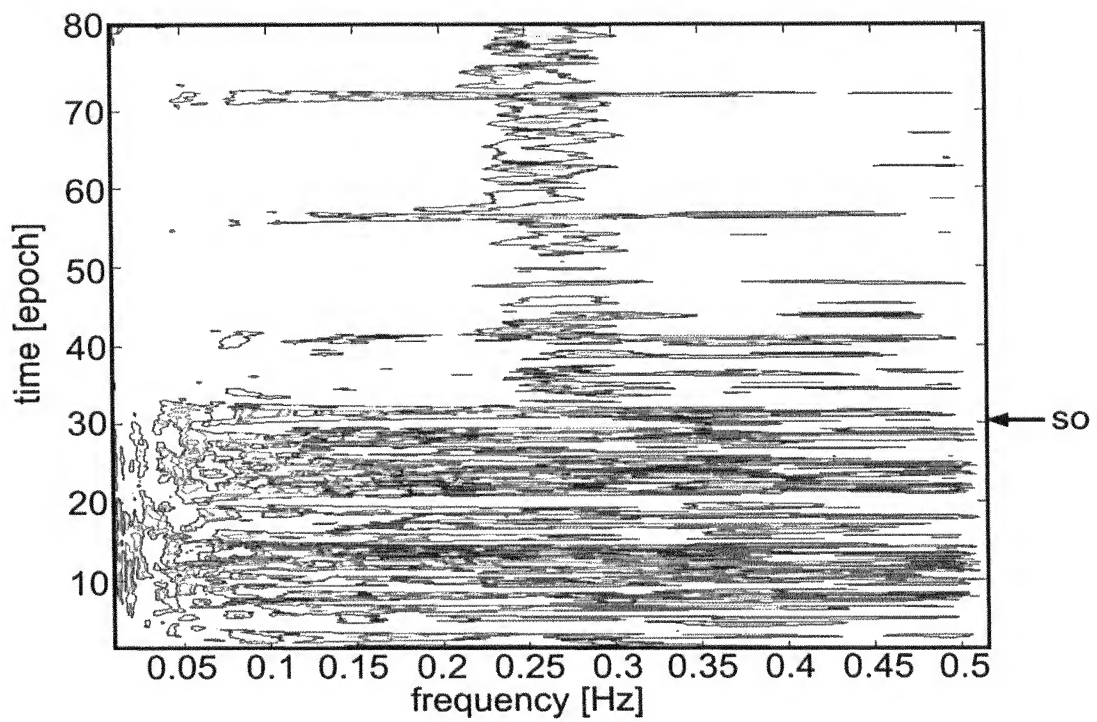


Fig. 20b

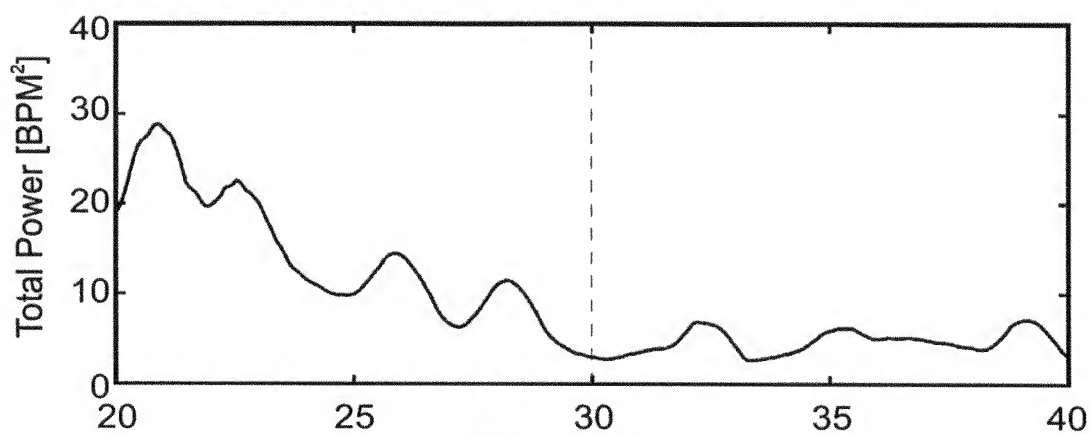


Fig. 21a

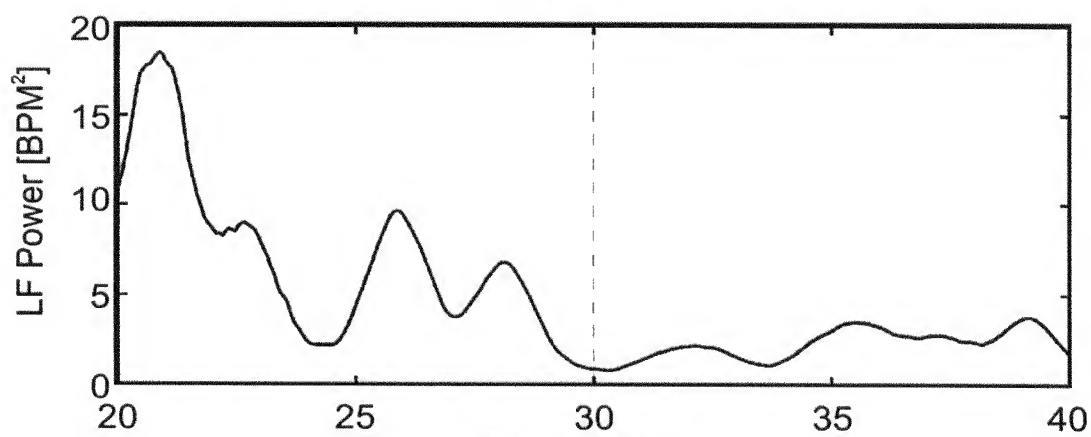


Fig. 21b

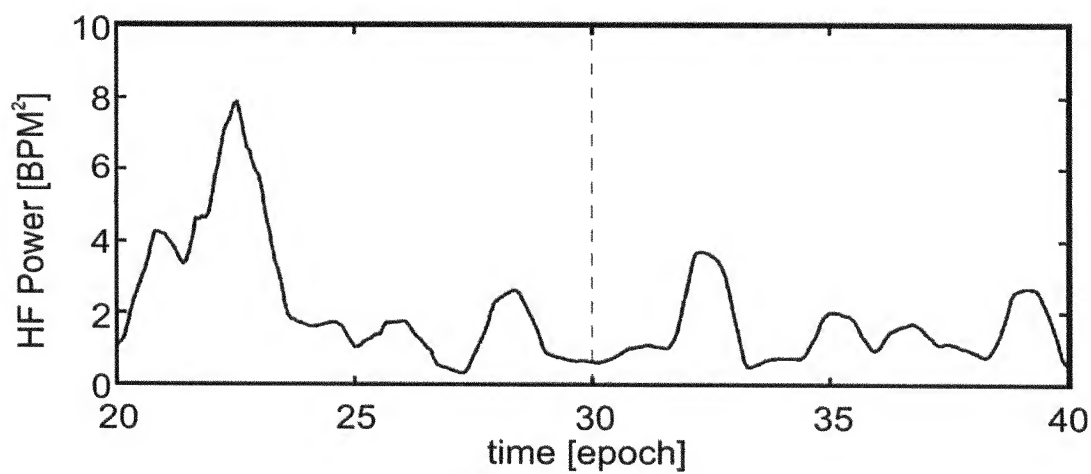


Fig. 21c

14/26

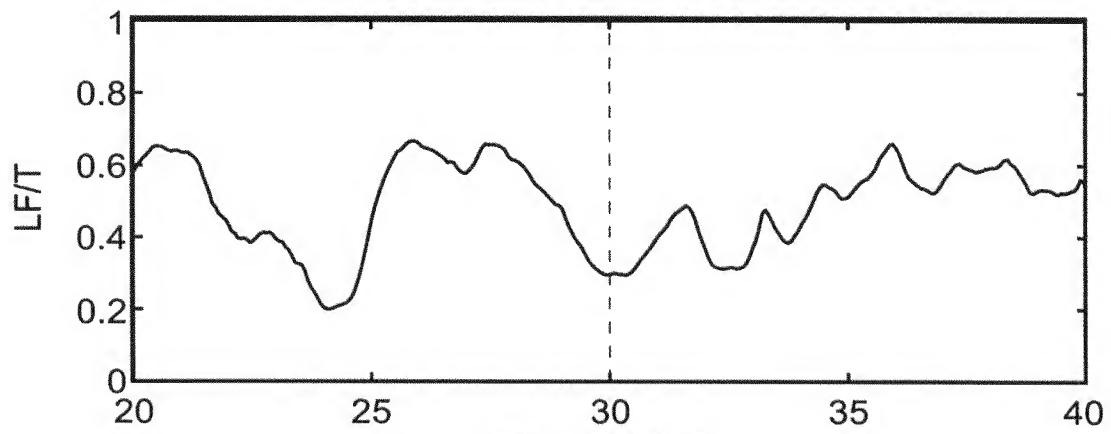


Fig. 21d

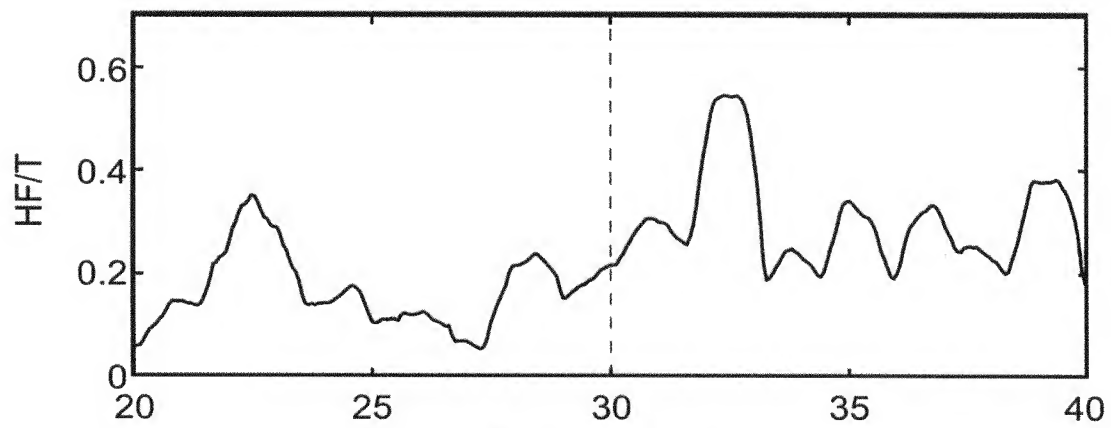


Fig. 21e

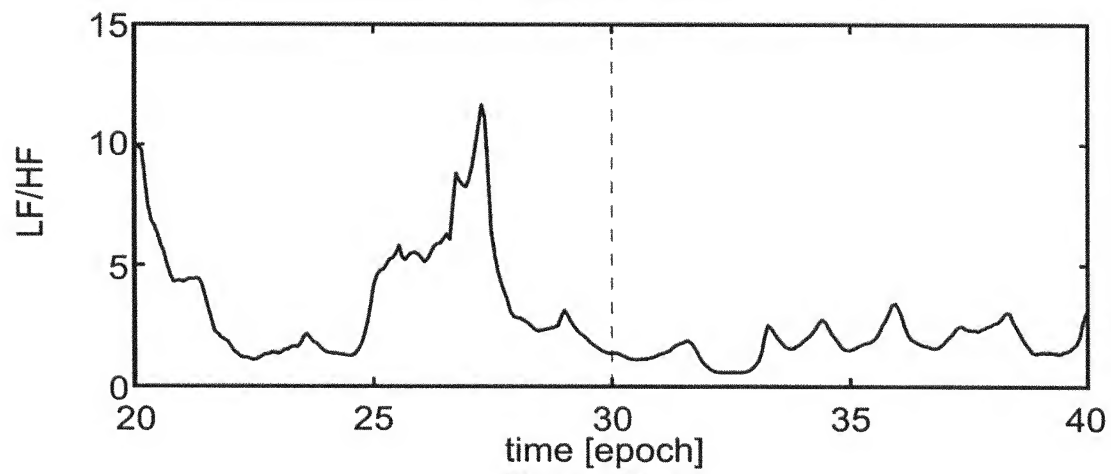


Fig. 21f

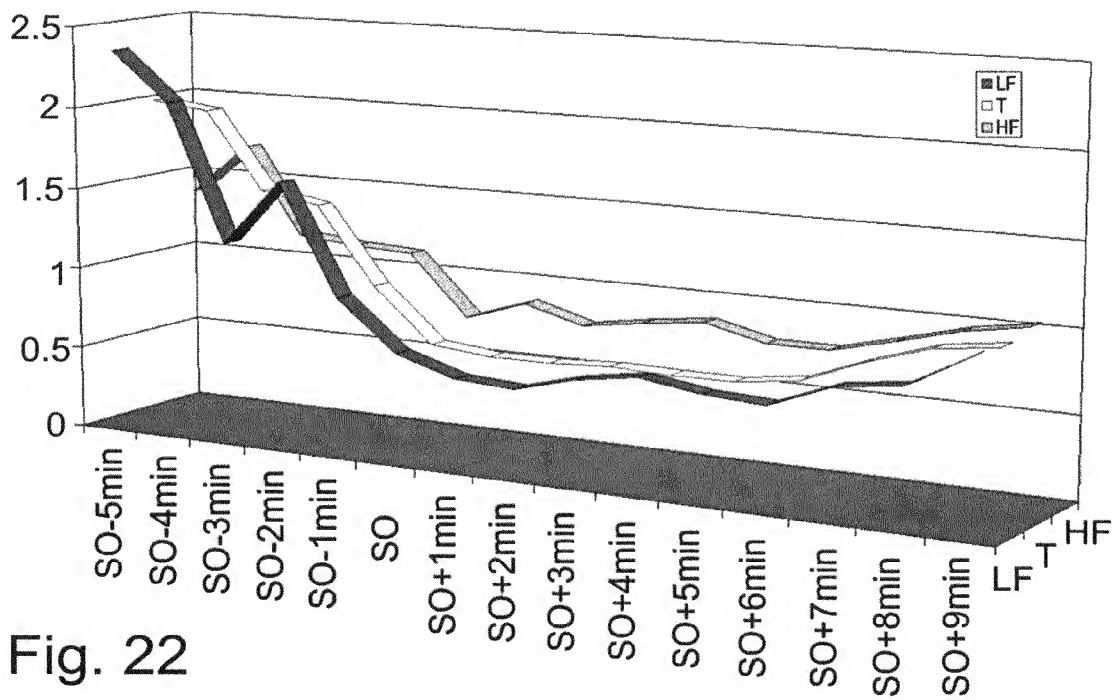


Fig. 22

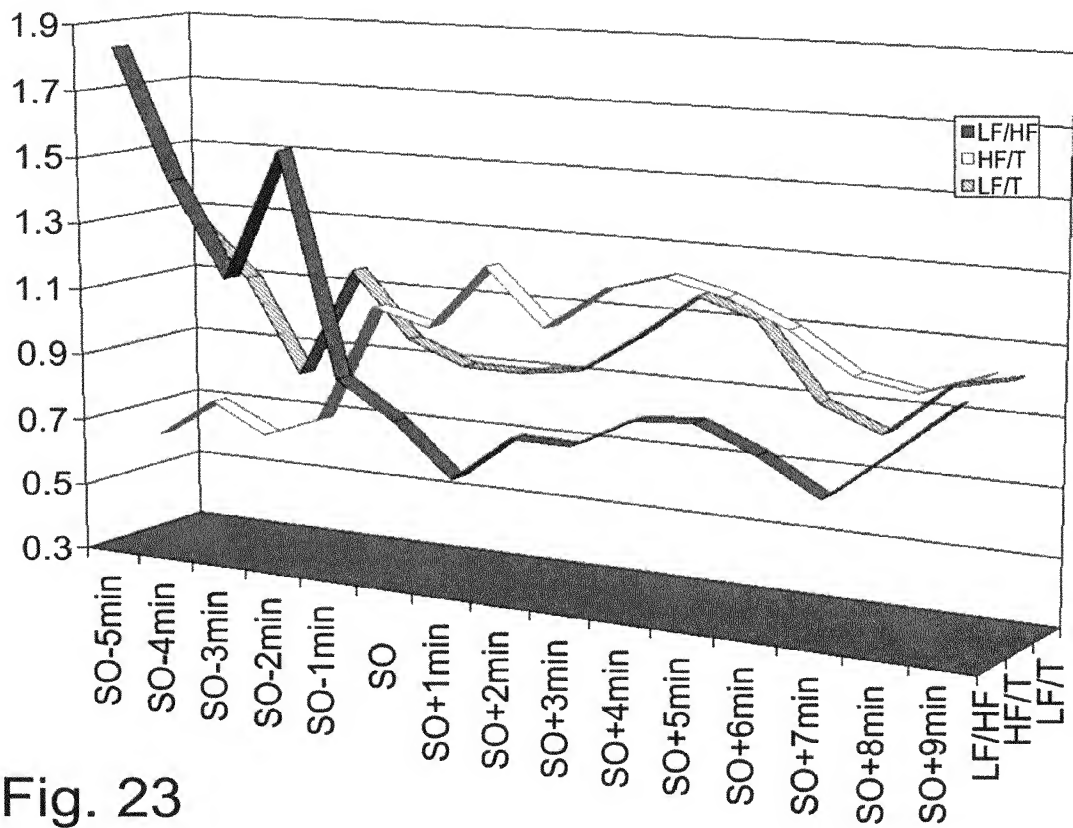
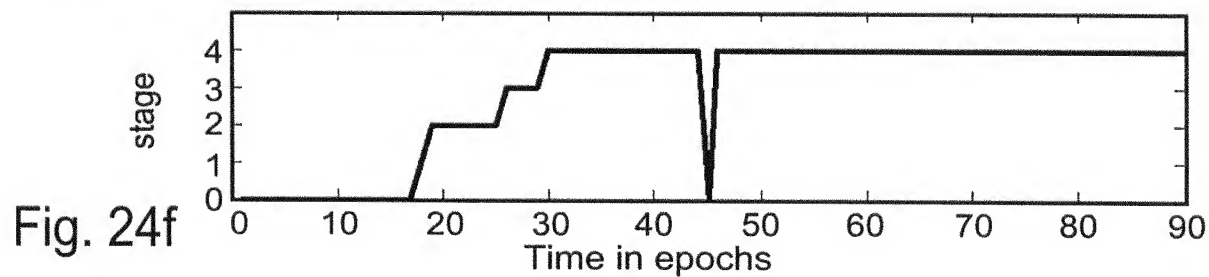
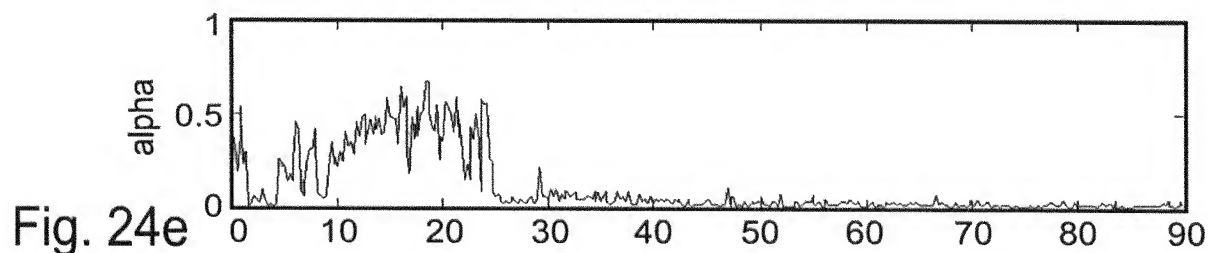
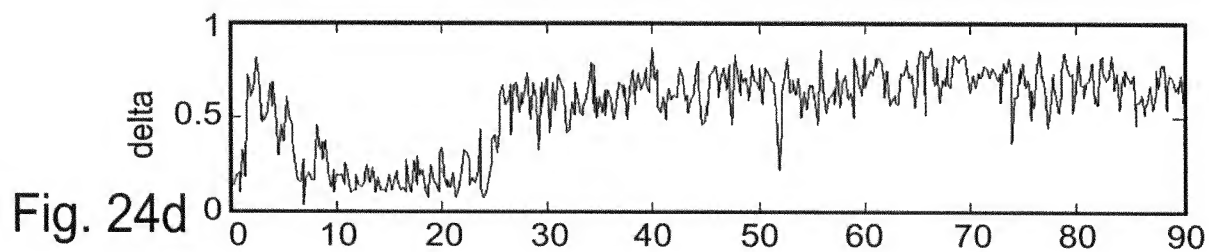
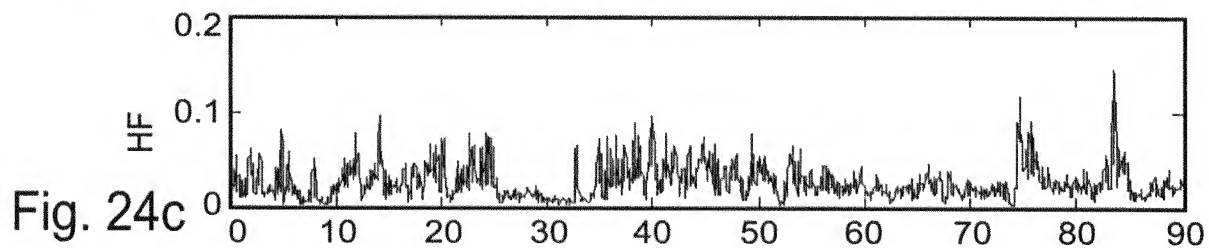
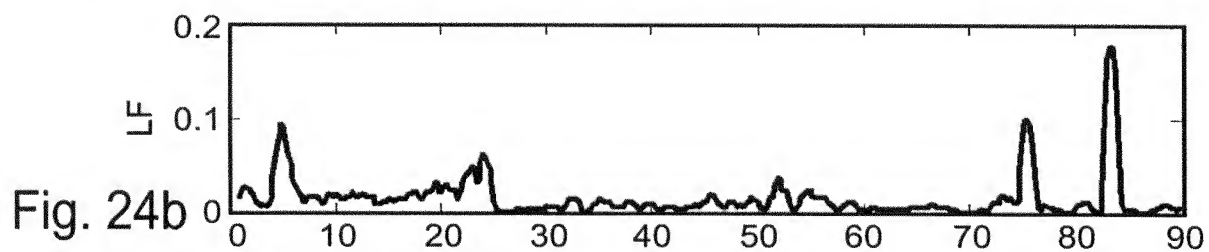
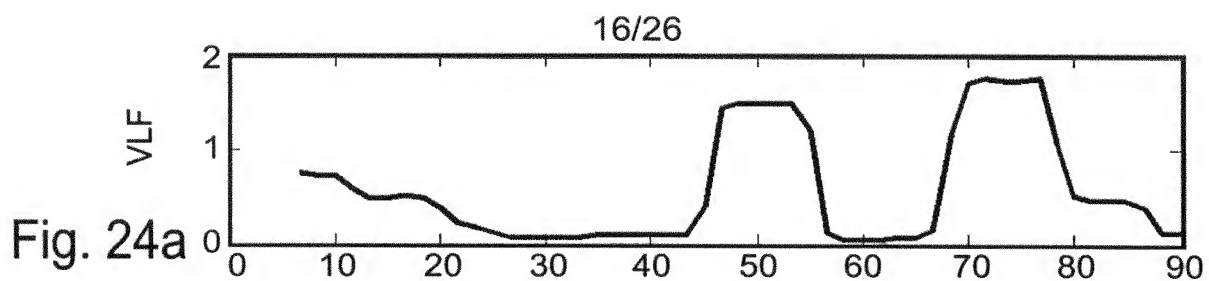
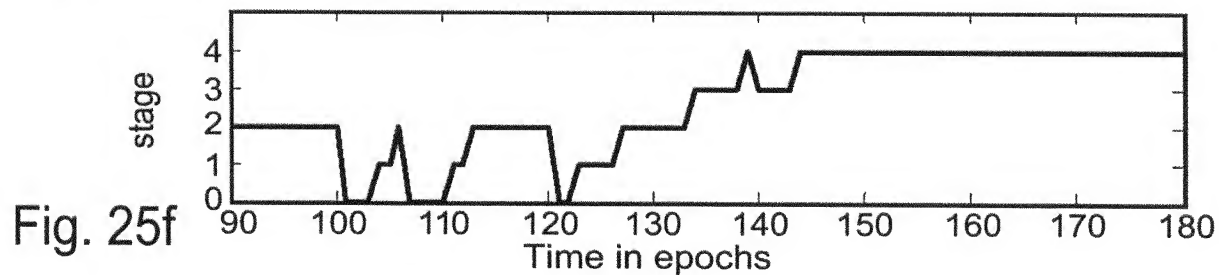
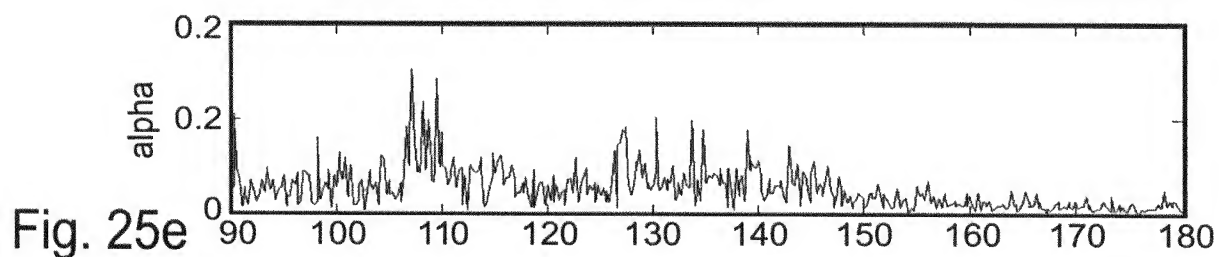
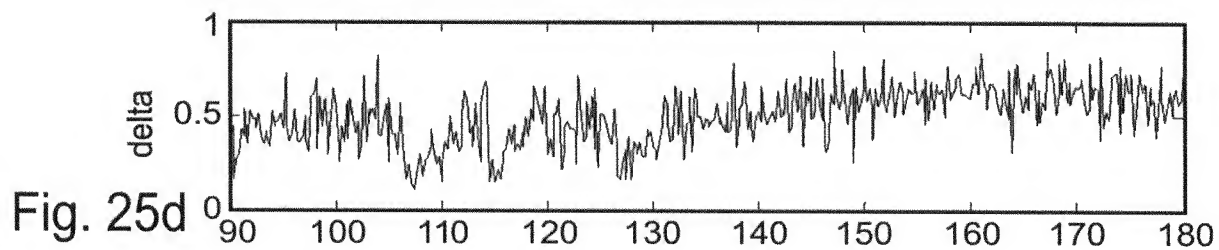
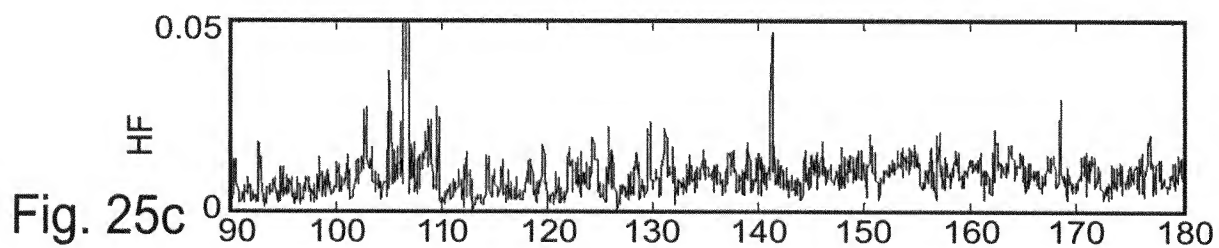
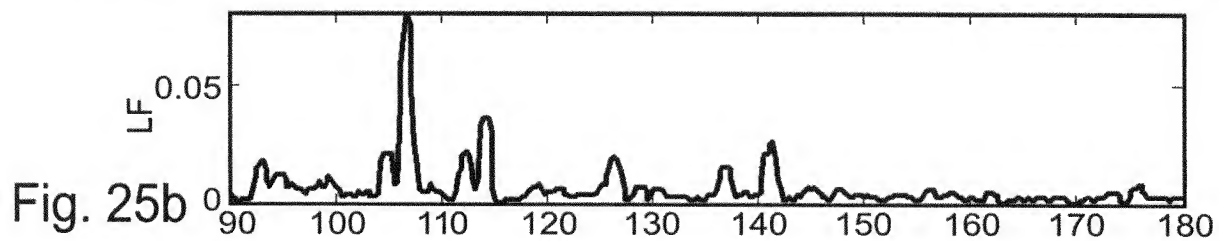
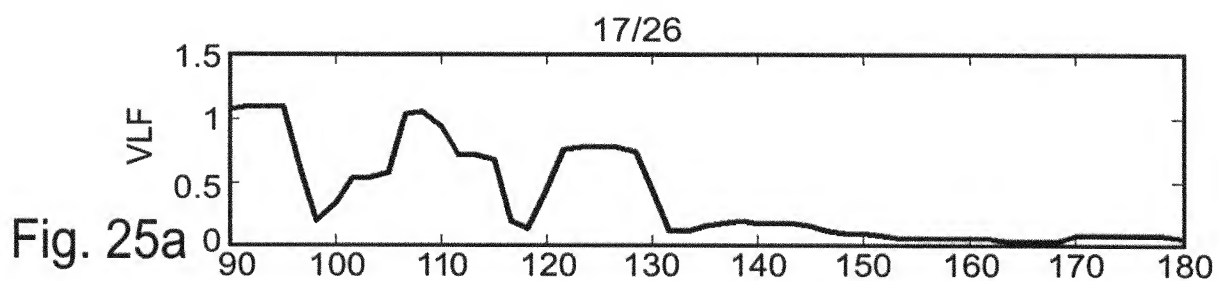


Fig. 23





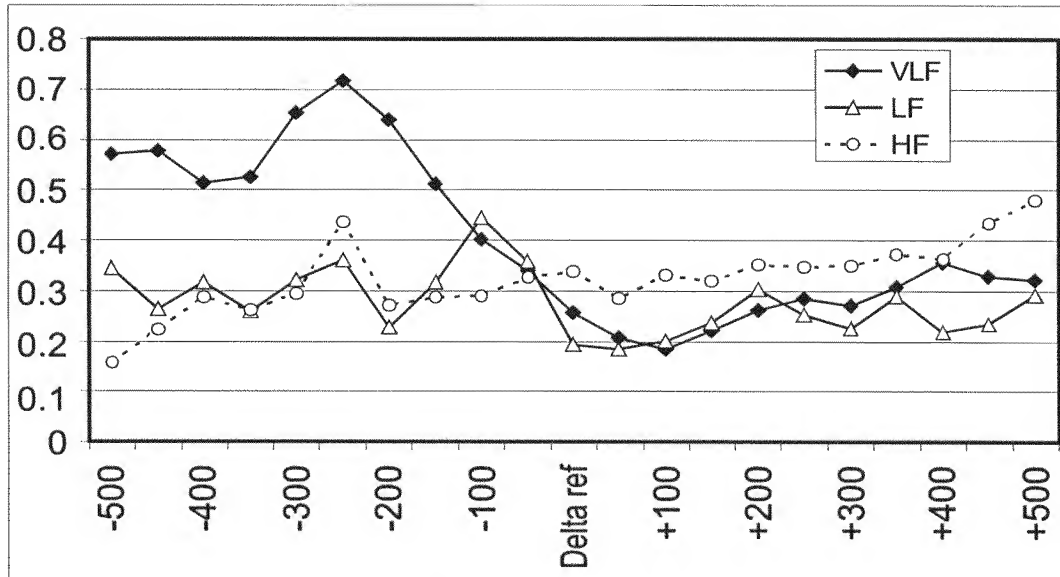


Fig. 26a

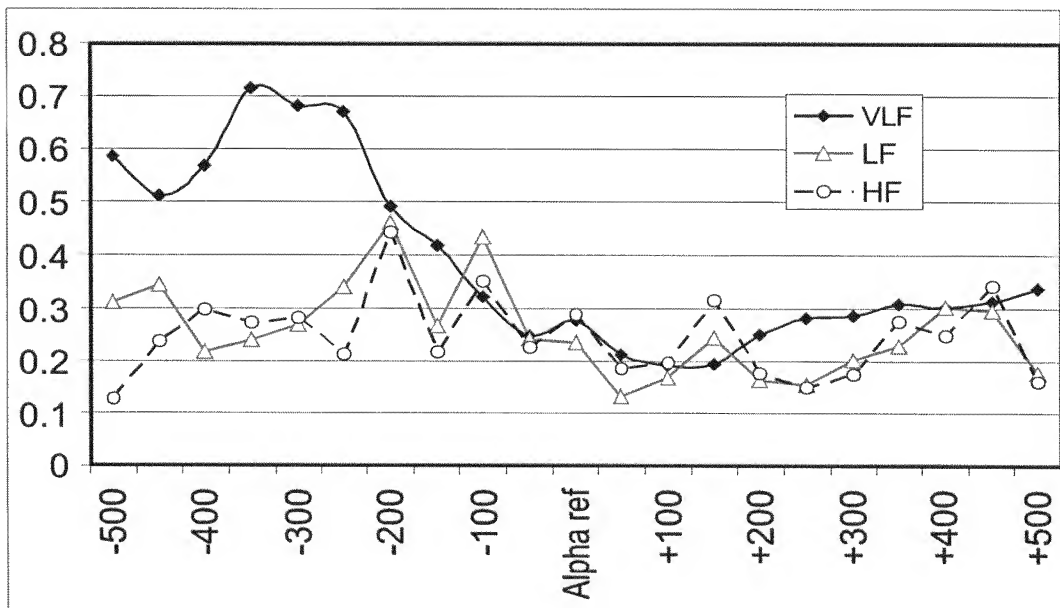


Fig. 26b

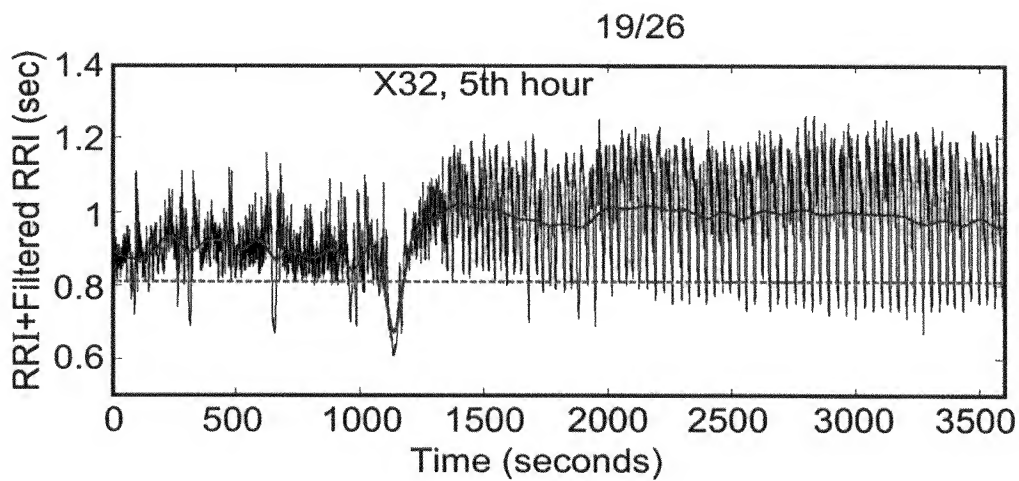


Fig. 27

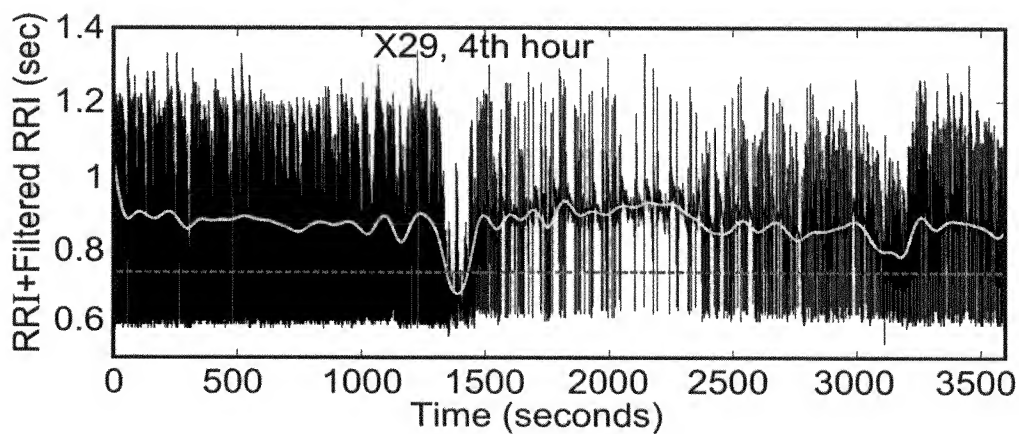


Fig. 28

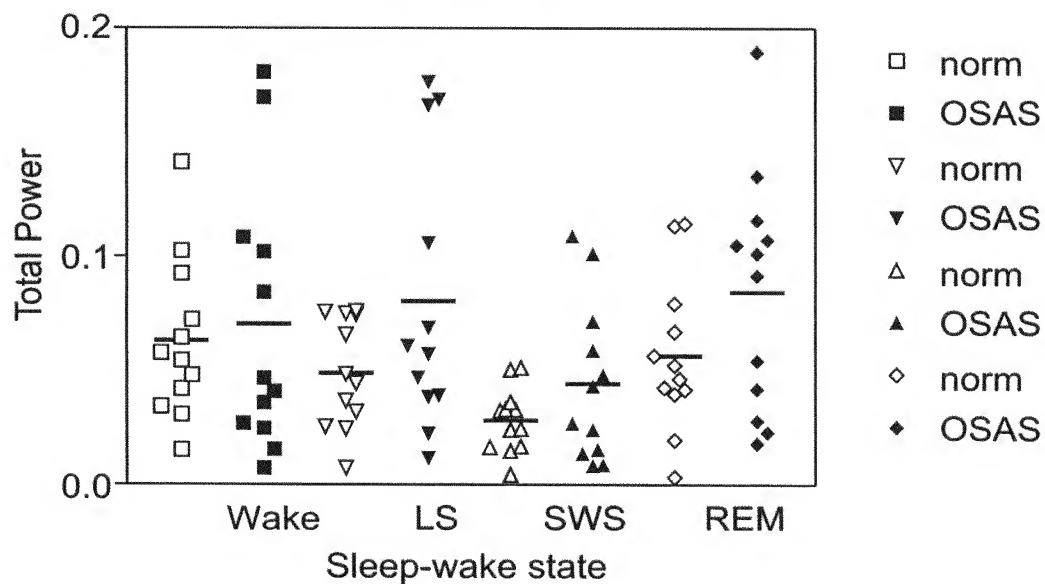


Fig. 29

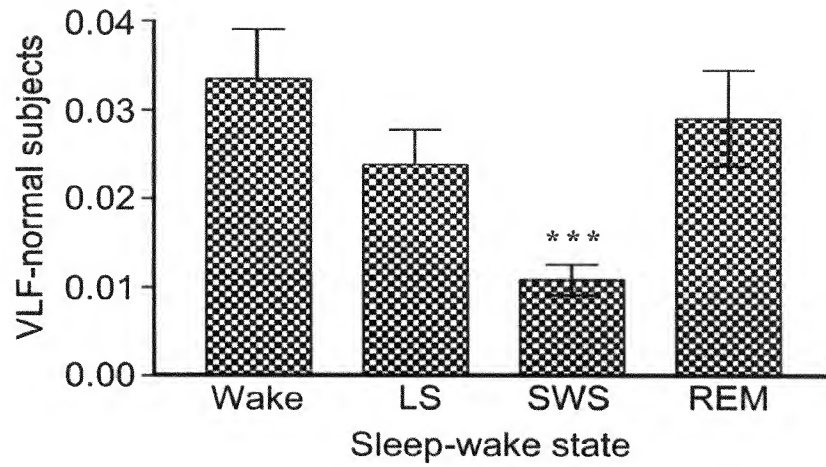


Fig. 30a

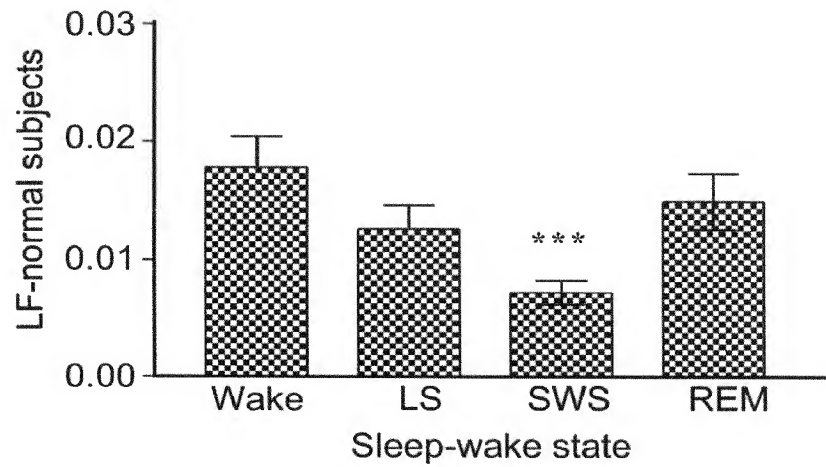


Fig. 30b

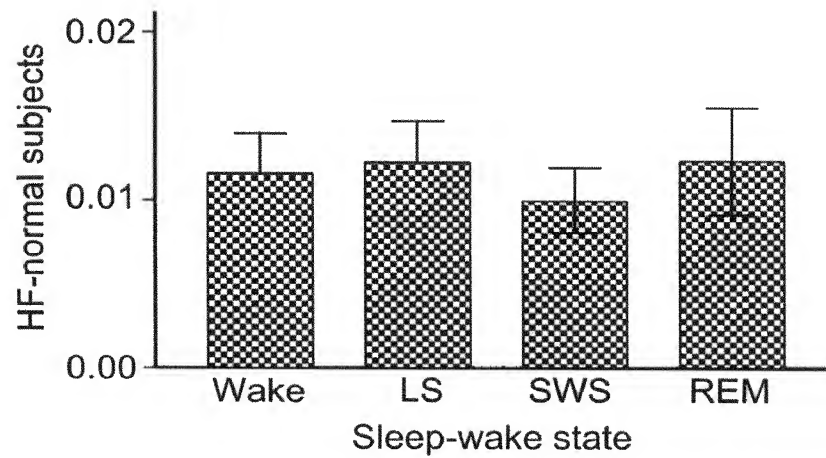


Fig. 30c

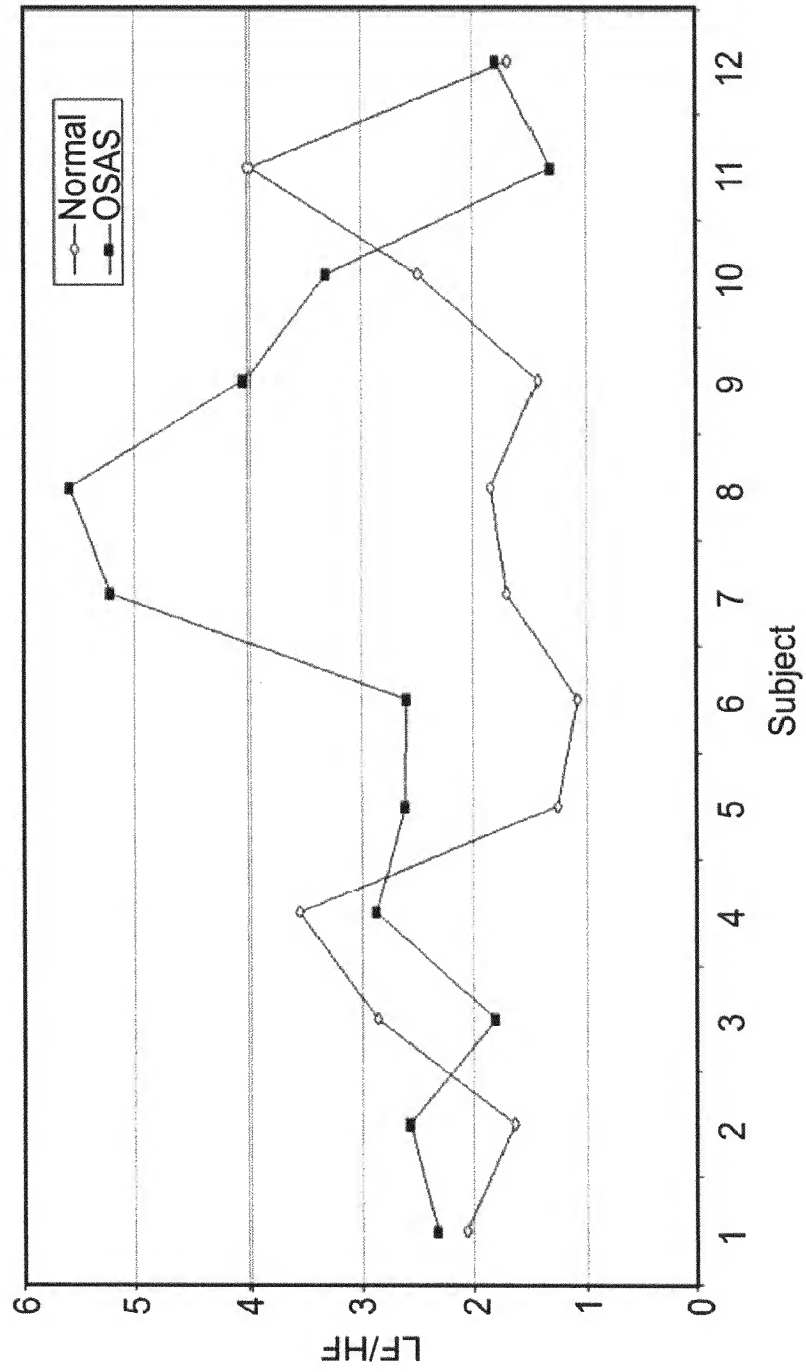


Fig. 31

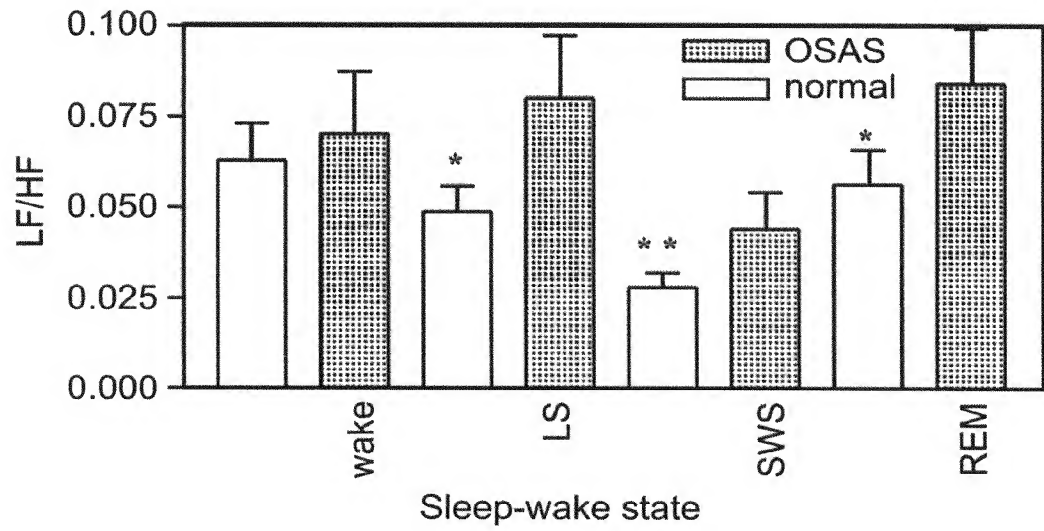


Fig. 32

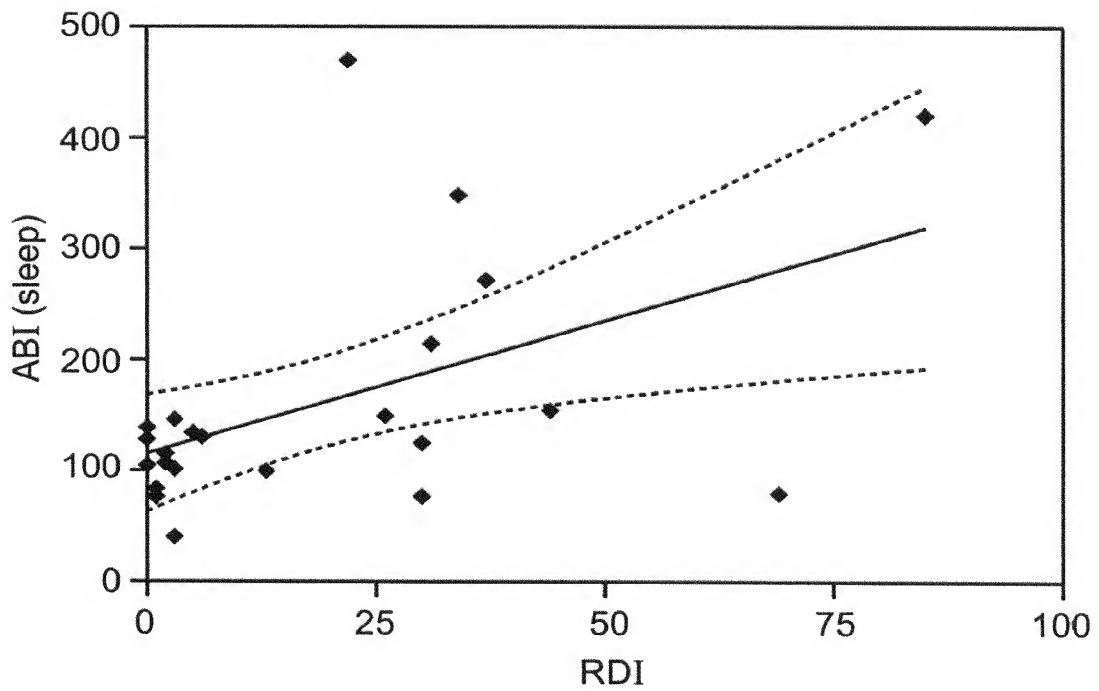


Fig. 33

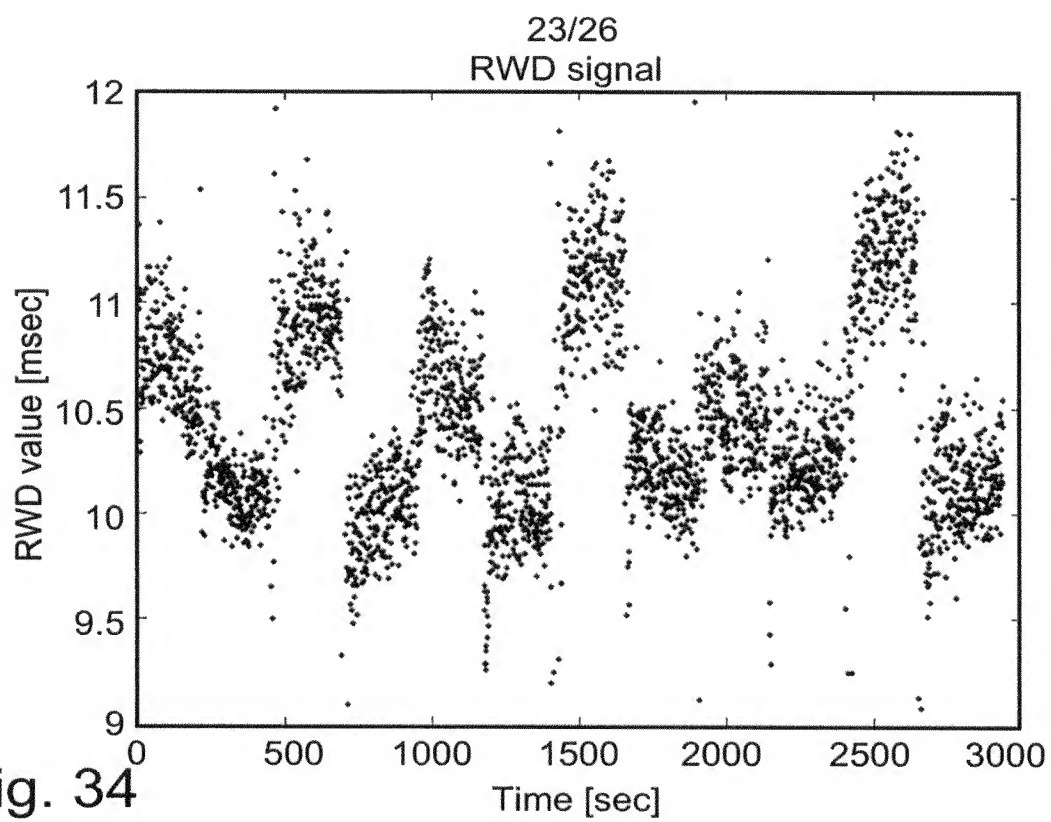


Fig. 34

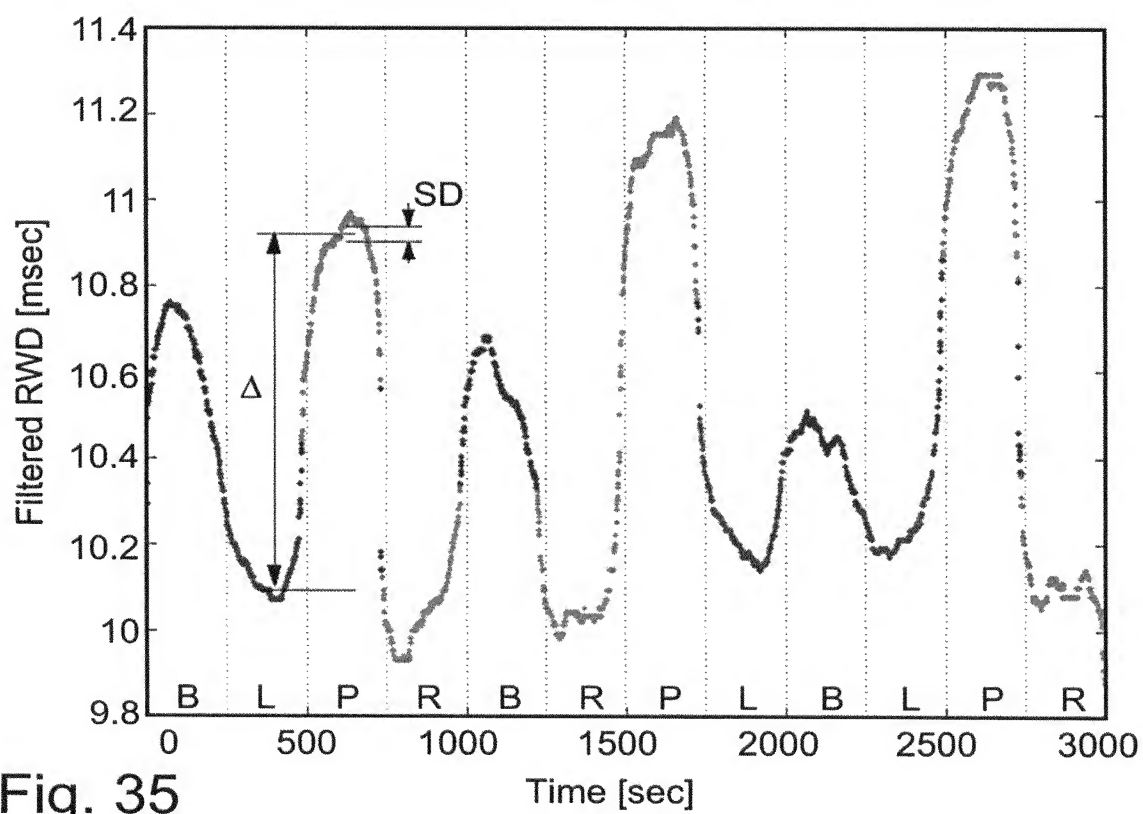


Fig. 35

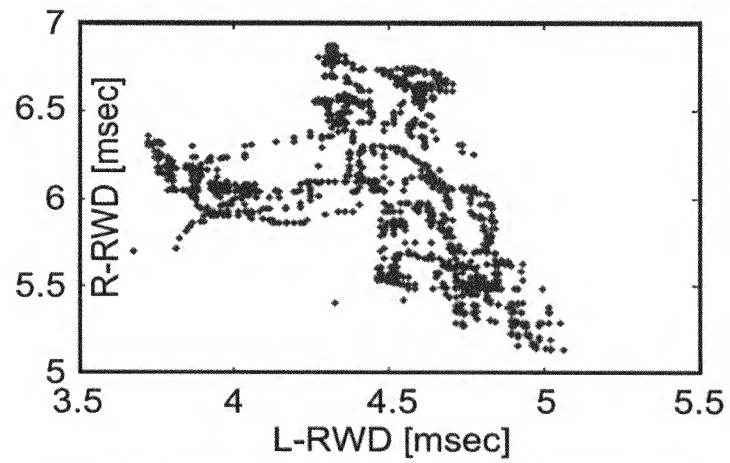


Fig. 36a

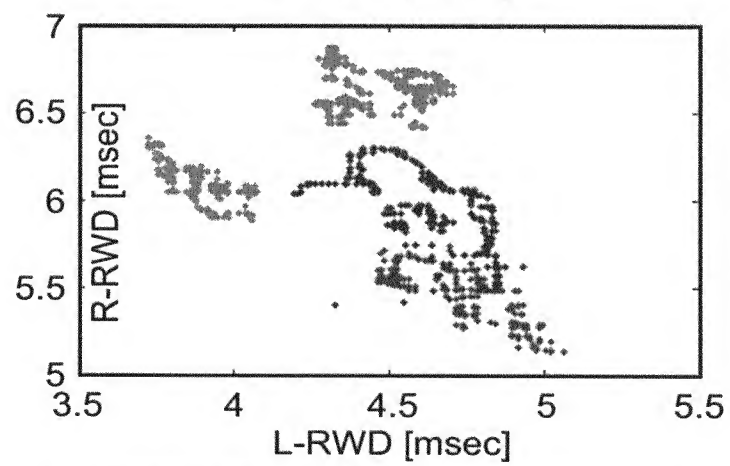


Fig. 36b

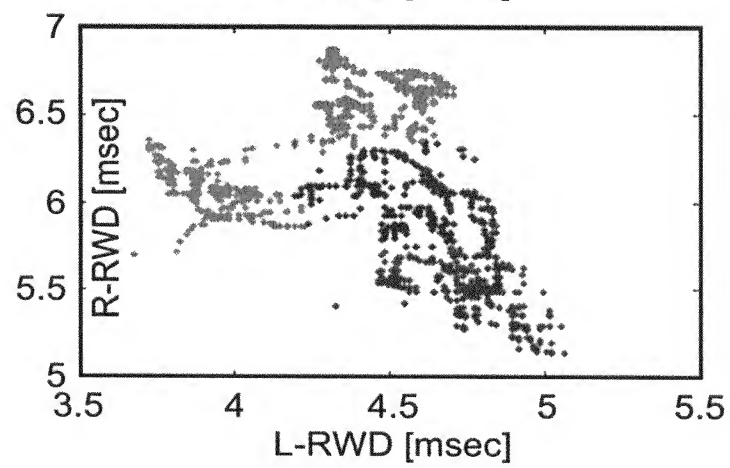


Fig. 36c

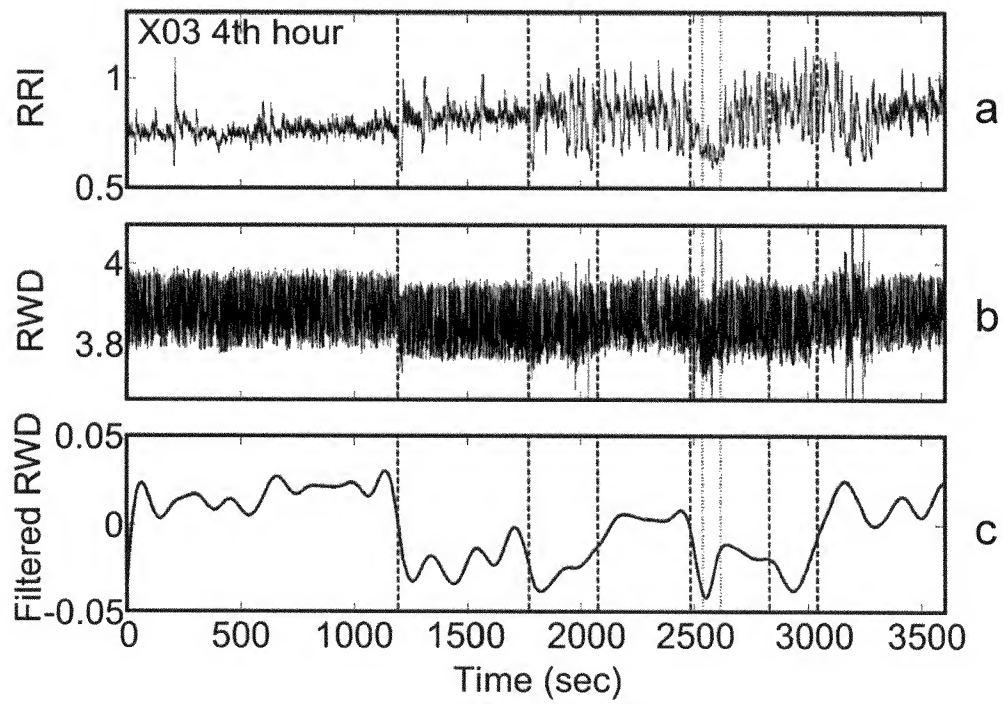


Fig. 37

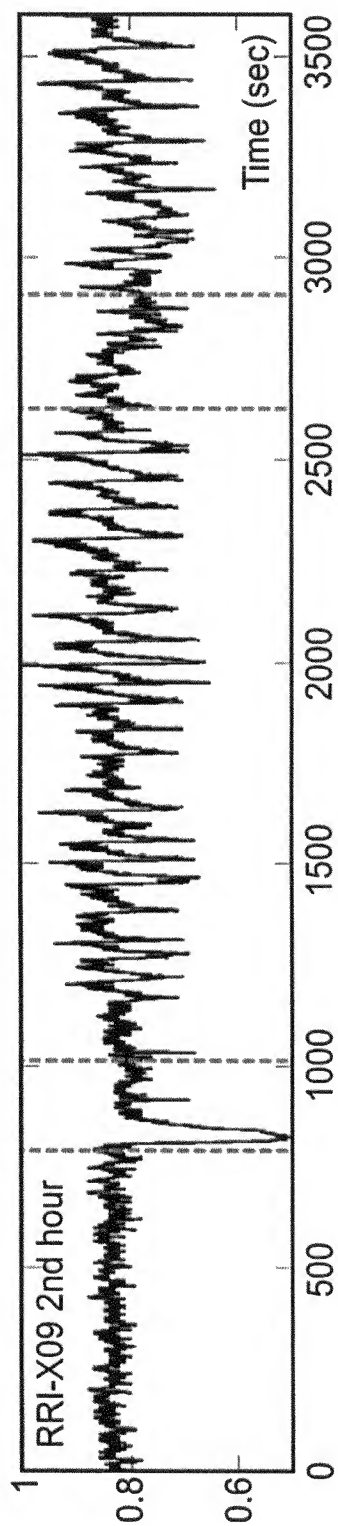


Fig. 38a

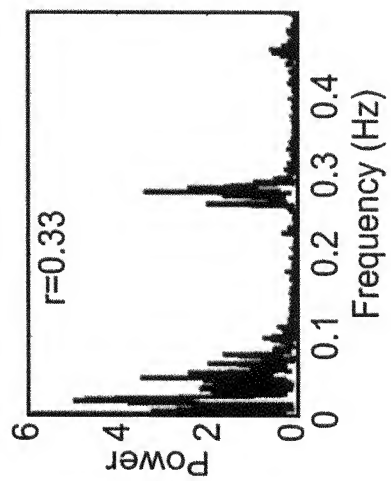


Fig. 38b

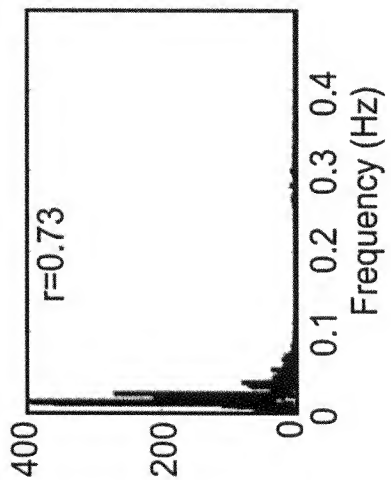


Fig. 38c

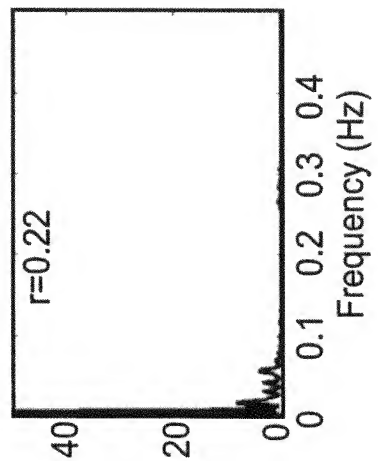


Fig. 38d